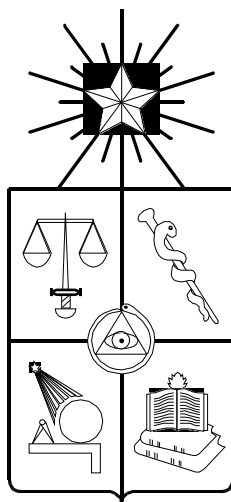


# *Lentes gravitacionales*

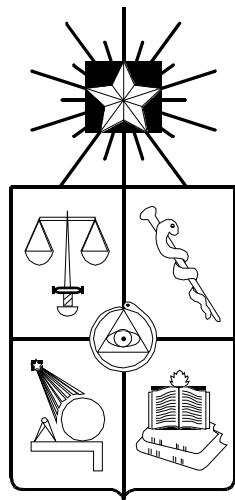


Sebastian Lopez  
Departamento de Astronomía  
Universidad de Chile

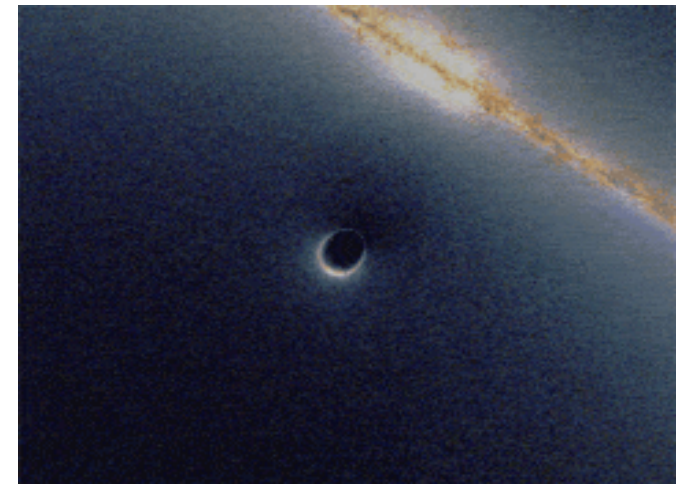


# *Lentes gravitacionales*

## *Deflección de la luz por campo gravitacional*



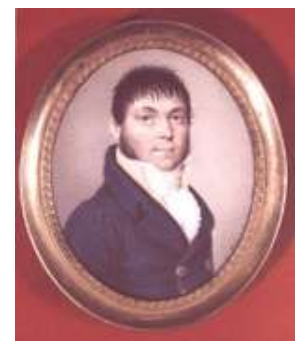
Sebastian Lopez  
Departamento de Astronomía  
Universidad de Chile



- ◆ Historia
  - ◆ Primer artículo sobre deflección de la luz cerca de cuerpos masivos:

*“Ueber die Ablenkung eines Lichtstrals von seiner geradlinigen Bewegung, durch die Attraktion eines Weltkörpers, an welchem er nahe vorbeigeht”*

Johann Soldner, 1804, geodesista, matemático y astrónomo alemán del Observatorio de Berlín



- ◆ Historia
  - ◆ Primer artículo sobre deflección de la luz cerca de cuerpos masivos:

*“Ueber die Ablenkung eines Lichtstrals von seiner geradlinigen Bewegung, durch die Attraktion eines Weltkörpers, an welchem er nahe vorbeigeht”*

Johann Soldner, 1804, geodesista, matemático y astrónomo alemán del Observatorio de Berlín

$$\phi = 0.84 \text{ arcsec}$$

- ◆ Historia
  - ◆ Segundo artículo sobre deflección de la luz cerca de cuerpos masivos:

*“Über den Einfluß der Schwerkraft auf die Ausbreitung des Lichtes”*

Albert Einstein (**1911**) Annalen der Physik, 35, 898



- ◆ Historia
  - ◆ Segundo artículo sobre deflección de la luz cerca de cuerpos masivos:

*“Über den Einfluß der Schwerkraft auf die Ausbreitung des Lichtes”*

Albert Einstein (1911) Annalen der Physik, 35, 898

$$\phi = 0.84 \text{ arcsec}$$

- ◆ Historia
  - ◆ Segundo artículo sobre deflección de la luz cerca de cuerpos masivos:

*“Über den Einfluß der Schwerkraft auf die Ausbreitung des Lichtes”*

Albert Einstein (1911) Annalen der Physik, 35, 898

Relatividad General  
aún no desarrollada!

$$\phi = 2GM_{sol}/c^2R_{sol} = 0.84 \text{ arcsec}$$

## ◆ Historia

Carta Einstein en 1913 a Hale, director de Mt Wilson. Éste sólo contestó después de terminada la I Guerra...

Zürich, 14. X. 13.

~~Ans~~

Hoch geachteter Herr Kollege:

Eine einfache theoretische Überlegung macht die Annahme plausibel, dass Lichtstrahlen in einem Gravitationsfeld eine <sup>grav. feld</sup> Deviation erfahren.



Bei Sonnenrands muste diese Ablenkung  $0,84^\circ$  betragen und wie  $\frac{1}{R}$  abnehmen  
( $R = \text{Abstand Sonne - Beobachtungspunkt}$ )

$0,84^\circ$



Es wäre deshalb von grösster Interesse, bis zu wie grosser Sonnen-nähe <sup>helle</sup> graue Finsternisse bei Anwendung der stärksten Vergrösserungen be Tage (ohne Sonnenfinsternis) gesehen werden können.

## ◆ Historia

- ◆ Planes para medir el ángulo erróneamente calculado tuvieron que posponerse (eclipse en Rusia, comienza la I Guerra, investigadores apresados)
- ◆ Cuando se completa la Teoría de Relatividad General, Einstein puede correctamente calcular:

$$\phi = \frac{2GM_{sol}}{c^2R_{sol}} = 1.74 \text{ arcsec}$$

↑ 4 corrección de considerar curvatura del espacio

- ◆ Historia
  - ◆ Se mide ángulo correcto a un 20% de precisión en eclipse de 1919 (Arthur Eddington)

Confirmación más reciente (0.02%): Lebach, D.E., Corey, B.E., Shapiro, I.I., Ratner, M.I., and Webber, J.C., *``Measurement of the solar gravitational deflection of radio waves using very-long-baseline interferometry''*, Phys. Rev. D, 75, 1439, (1995).

## ◆ Historia

- ◆ En las décadas posteriores casi nada se investiga sobre lentes gravitacionales.
- ◆ **Chwolson** en 1924 (“*una estrella exactamente detrás de otra resultaría en una imagen circular*”)
- ◆ **Zwicky** en 1937 (“*nebulosas extragalácticas más probables de ser lentificadas*”)
- ◆ ...primera aplicación astronómica ~50 años más tarde!!!



Sjur Refsdal

res casi nada se inves-  
cionales.

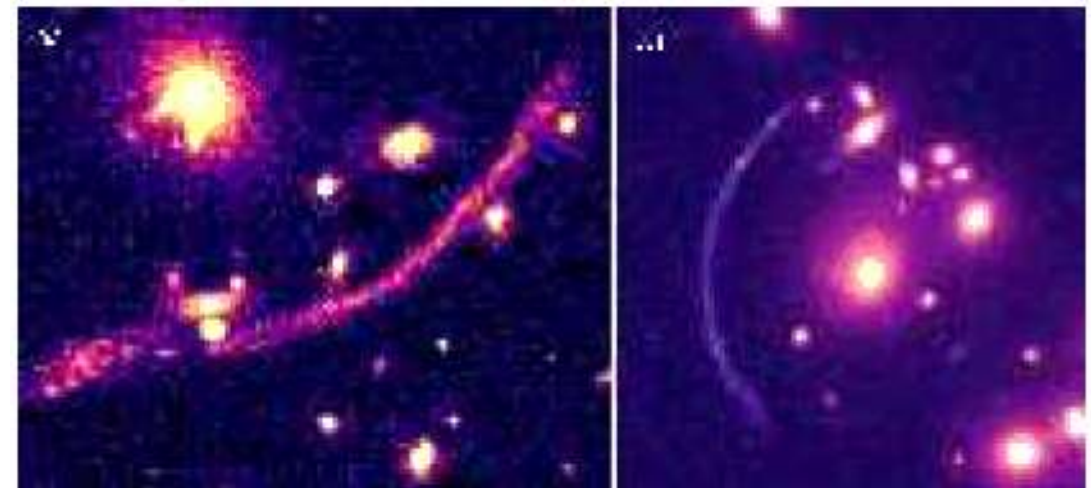
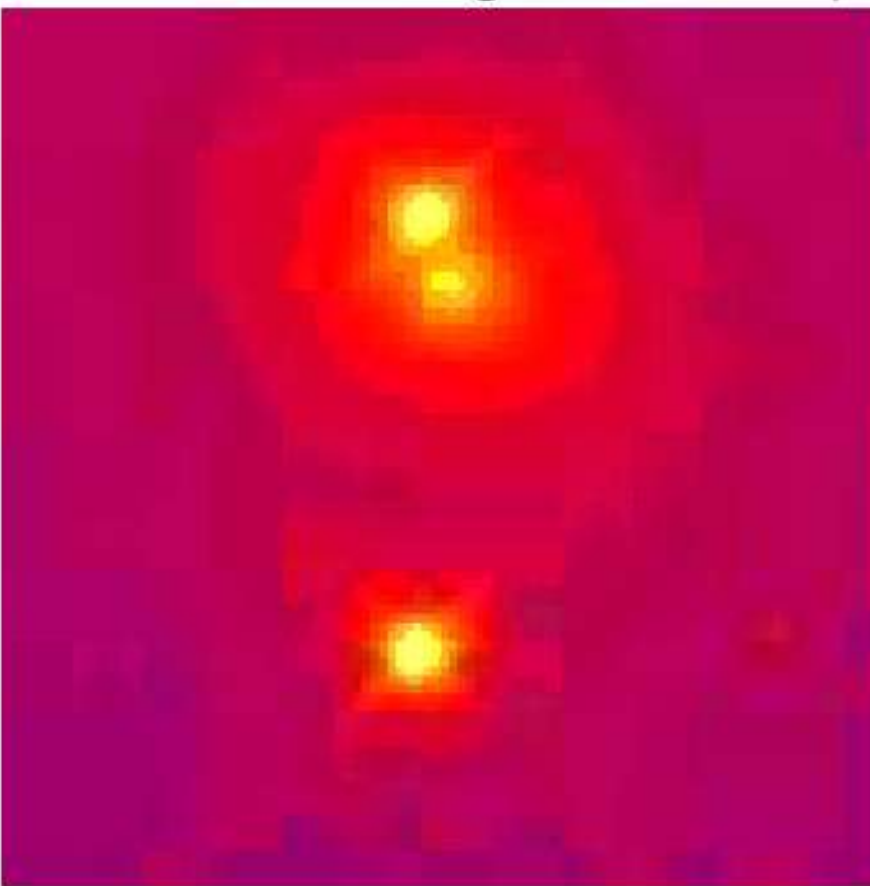
*a estrella exactamente  
en una imagen*

*osas extragalácticas  
nteadas")*  
ronómica ~50 años más

## ◆ Historia

- ◆ Refsdal en los 60 deriva ecuaciones básicas para la teoría de lentes (Refsdal, S., 1966, *``On the possibility of testing cosmological theories from the gravitational lens effect''*, Mon. Not. R. Astron. Soc., **132**, 101).
- ◆ Propone el uso de time delays para determinar la constante de Hubble.
- ◆ Con el descubrimiento de QSOs se investiga sobre lentes de imágenes distantes.
- ◆ Recién en 1979 se descubre el primer QSO lentificado (Walsh, Carswell & Weymann 1979, Nature, 279, 381)

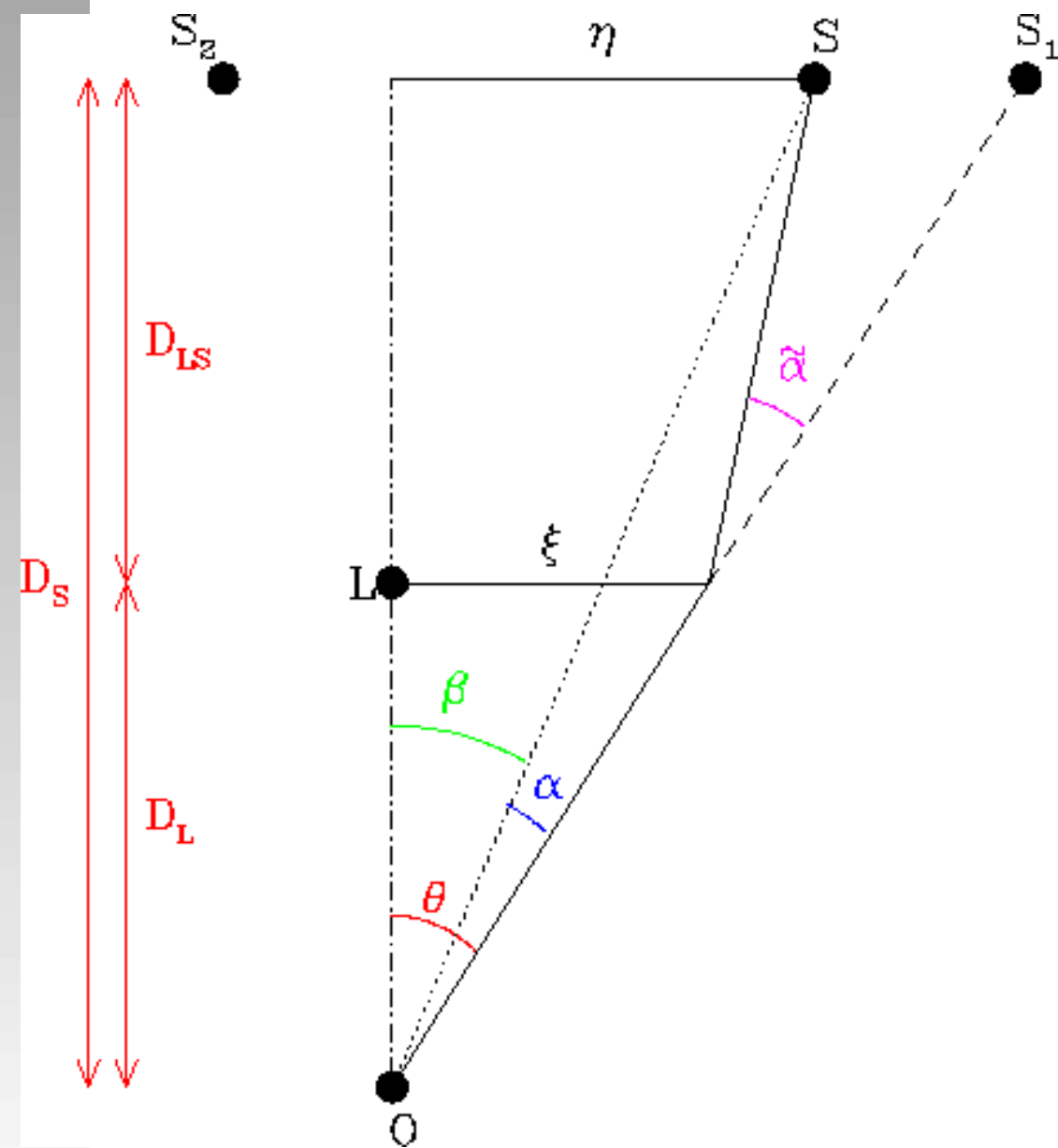
- ◆ Tipos de lensing
- ◆ **Strong lensing:** imágenes múltiples de QSOs lentificados por galaxias, arcos de galaxias lentificados por galaxias en un cluster



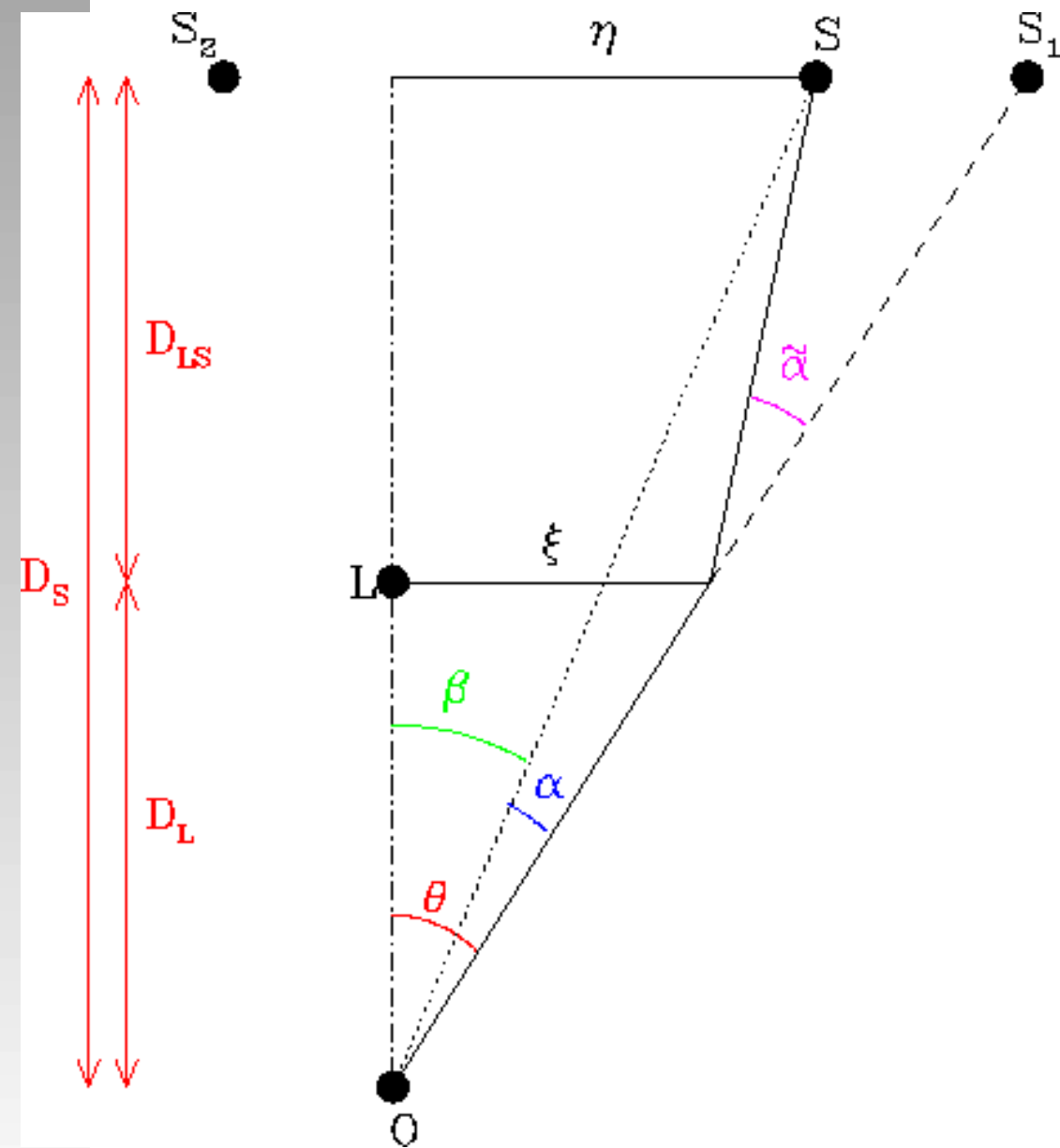
- ◆ Tipos de lensing
  - ◆ **Strong lensing:** imágenes múltiples de QSOs lentificados por galaxias, arcos de galaxias lentificados por galaxias en un cluster
  - ◆ **Weak lensing:** determinación estadística de deformación de galaxias por un cluster

- ◆ Tipos de lensing
  - ◆ **Strong lensing:** imágenes múltiples de QSOs lentificados por galaxias, arcos de galaxias lentificados por galaxias en un cluster
  - ◆ **Weak lensing:** determinación estadística de deformación de galaxias por un cluster
  - ◆ **Micro-lensing:** estrellas en el halo lentificadas por otras estrellas. No hay multiples imágenes pero sí cambio en la magnitud de los objetos fuente (también se ha tratado de determinar microlensing extragaláctico)

## ◆ Modelo

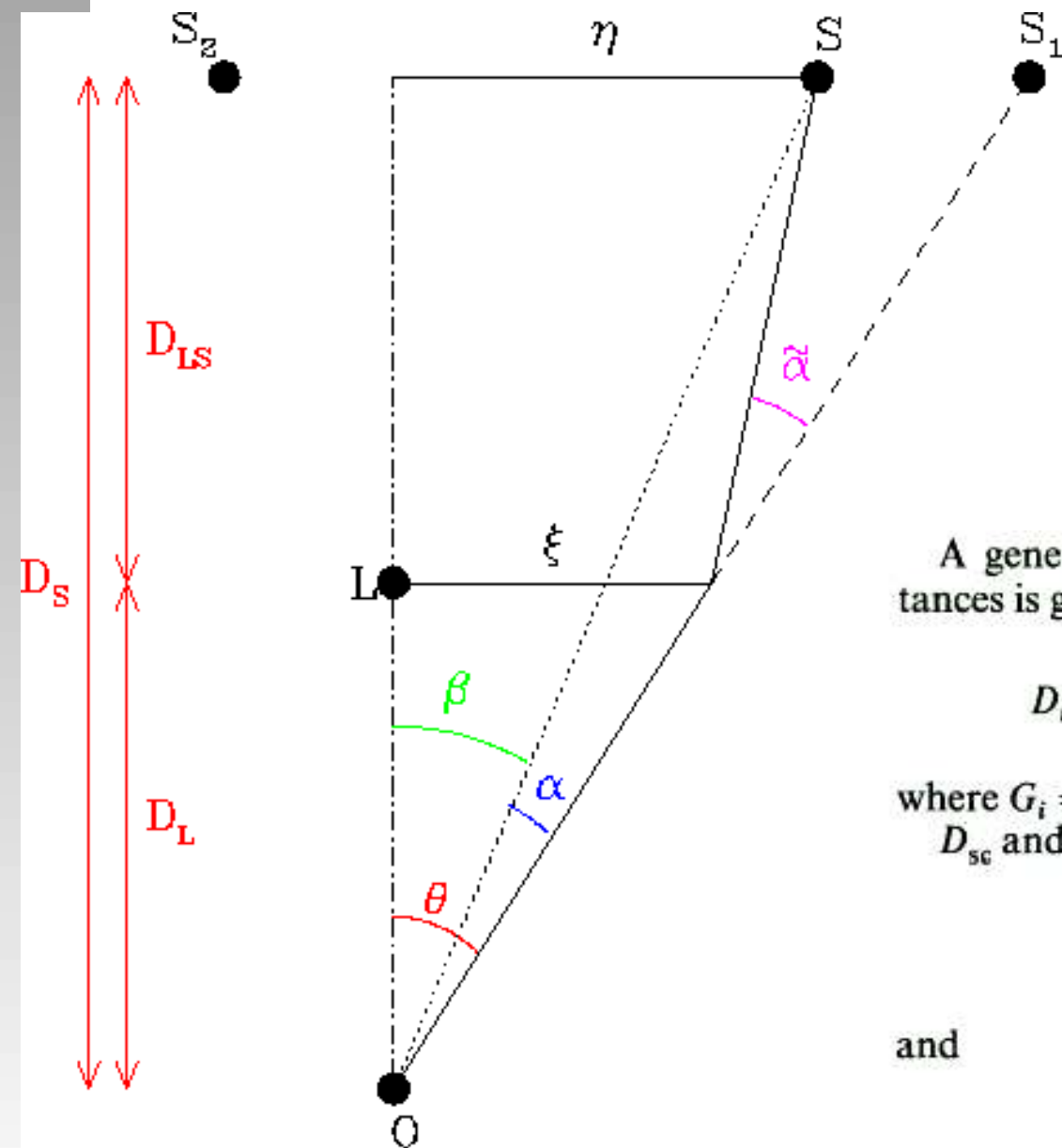


## ◆ Modelo



Nos interesa una relación para el observable  $\theta$

## ◆ Modelo



Smette et al. (1992) ApJ 389, 39

A general formula to compute these angular-diameter distances is given in Blandford & Kochanek (1987):

$$D_{ij} = \frac{2c}{H_0} \frac{(1 - 2q_0)(G_i - G_j) + (G_i G_j^2 - G_i^2 G_j)}{(2q_0)^2(1 + z_i)(1 + z_j)^2}, \quad (2)$$

where  $G_i = (1 + 2q_0 z_i)^{1/2}$ .

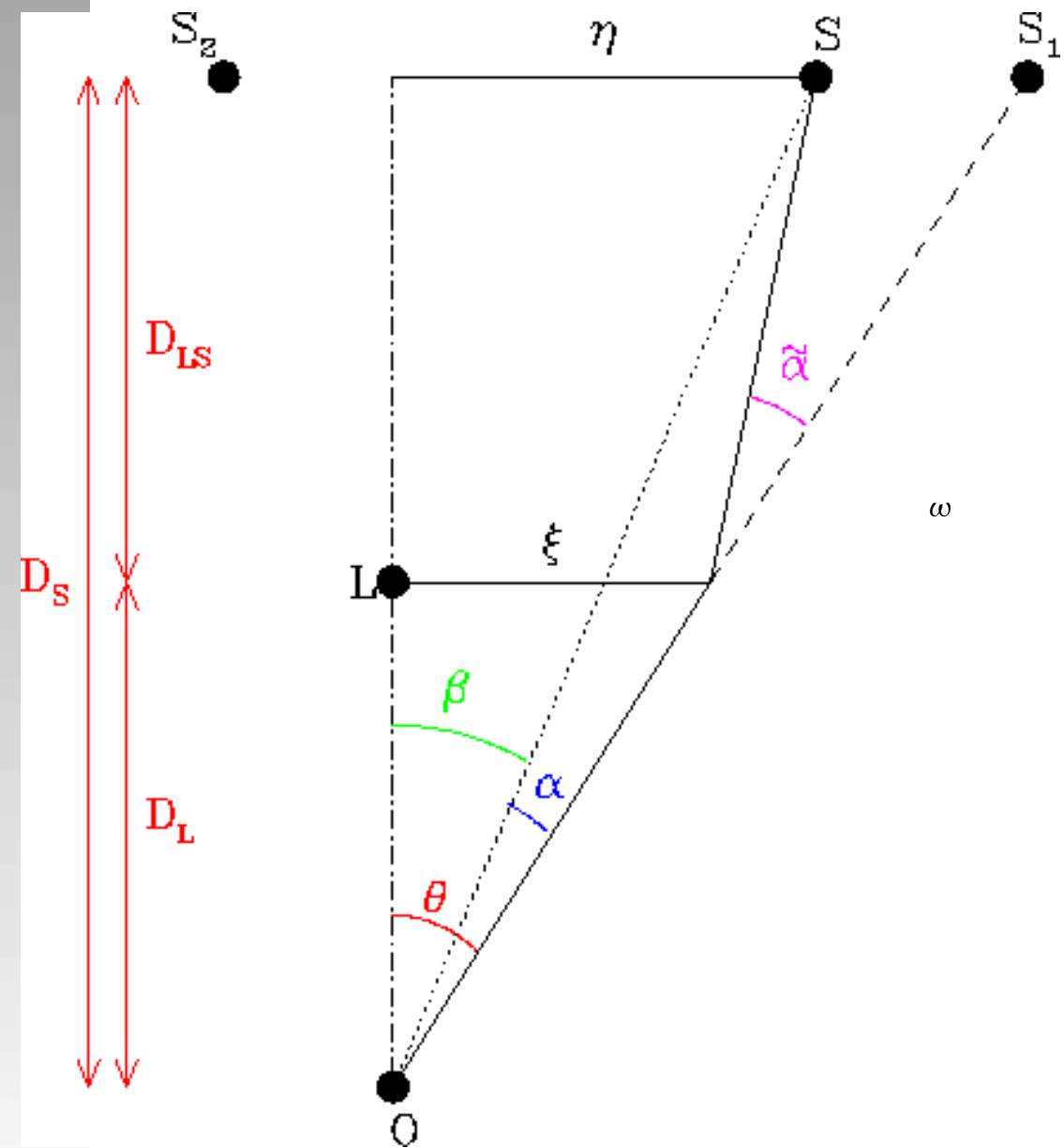
$D_{sc}$  and  $D_{sd}$  are related to  $D_{cs}$  and  $D_{ds}$ , respectively, by

$$D_{sc} = D_{cs} \frac{1 + z_s}{1 + z_c} \quad (3)$$

and

$$D_{sd} = D_{ds} \frac{1 + z_s}{1 + z_d}. \quad (4)$$

## ◆ Modelo

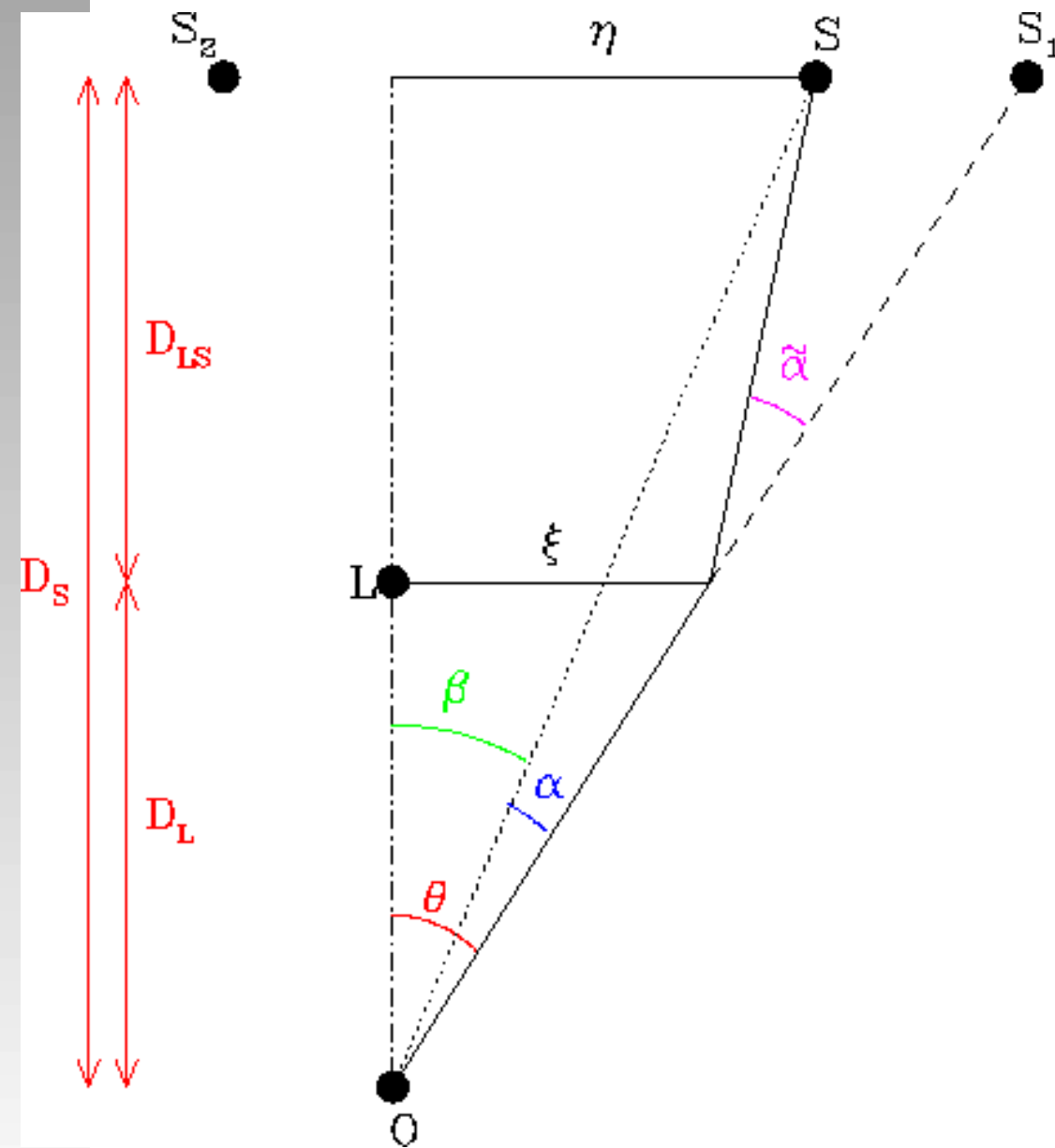


- ◆ La luz se deflecta durante todo su recorrido a la tierra, pero se asume que el efecto es producido sólo por una galaxia o cluster (aproximación de “lente delgado”)
- ◆ La aprox. Es válida si:

$$|\Phi| \ll c^2 \quad v \ll c$$

## ◆ Modelo

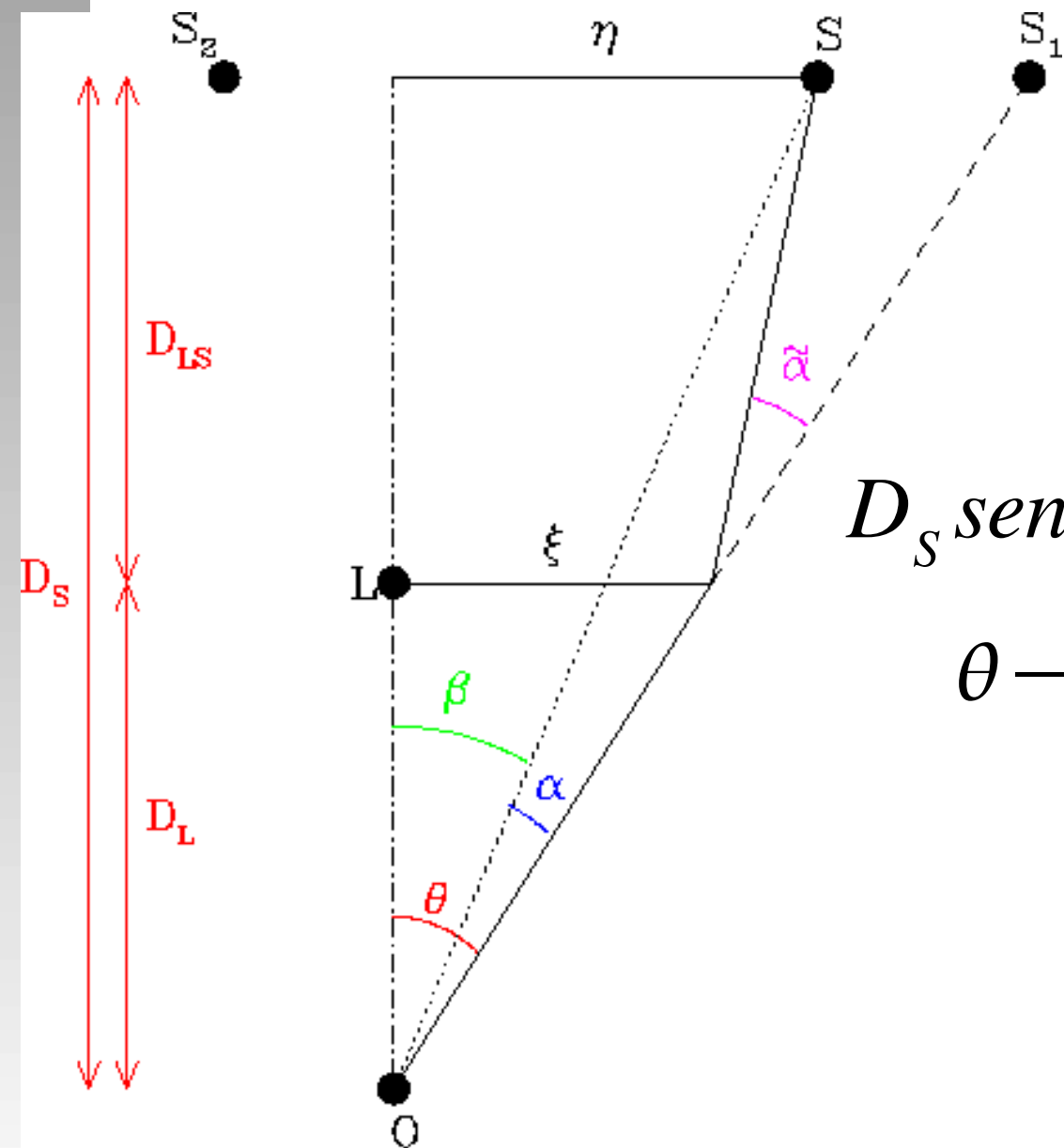
## ◆ Ángulo de deflección



$$\tilde{\alpha}(\xi) = \frac{4GM(\xi)}{c^2} \frac{1}{\xi} \quad (1)$$

◆ Modelo

◆ Aproximación de lente delgado:

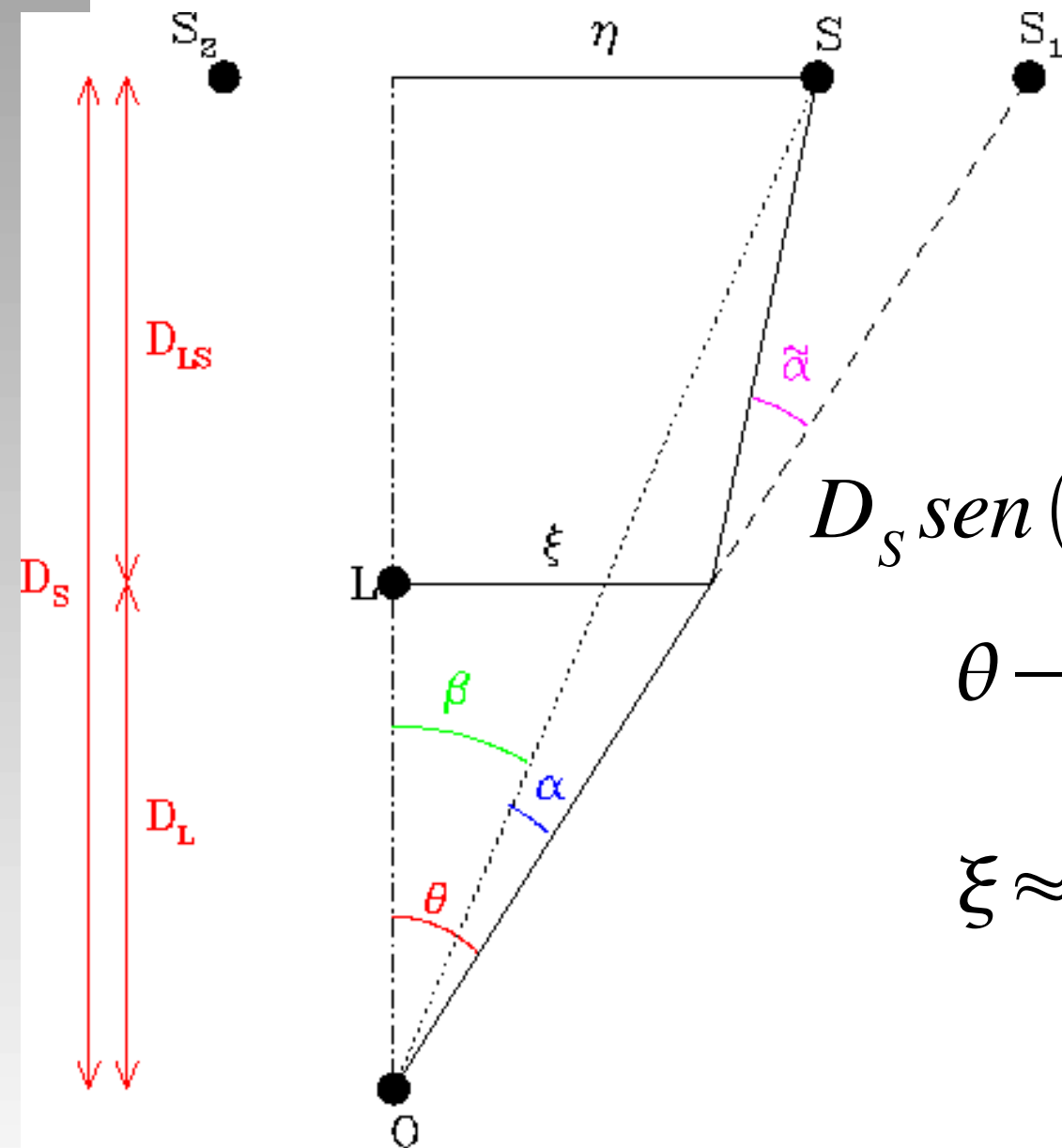


$$D_S \sin(\theta - \beta) = D_{LS} \sin(\tilde{\alpha}(\xi)) \quad (2)$$

$$\theta - \beta \approx D_{LS} \tilde{\alpha}(\xi) / D_S \quad (3)$$

◆ Modelo

◆ Aproximación de lente delgado:



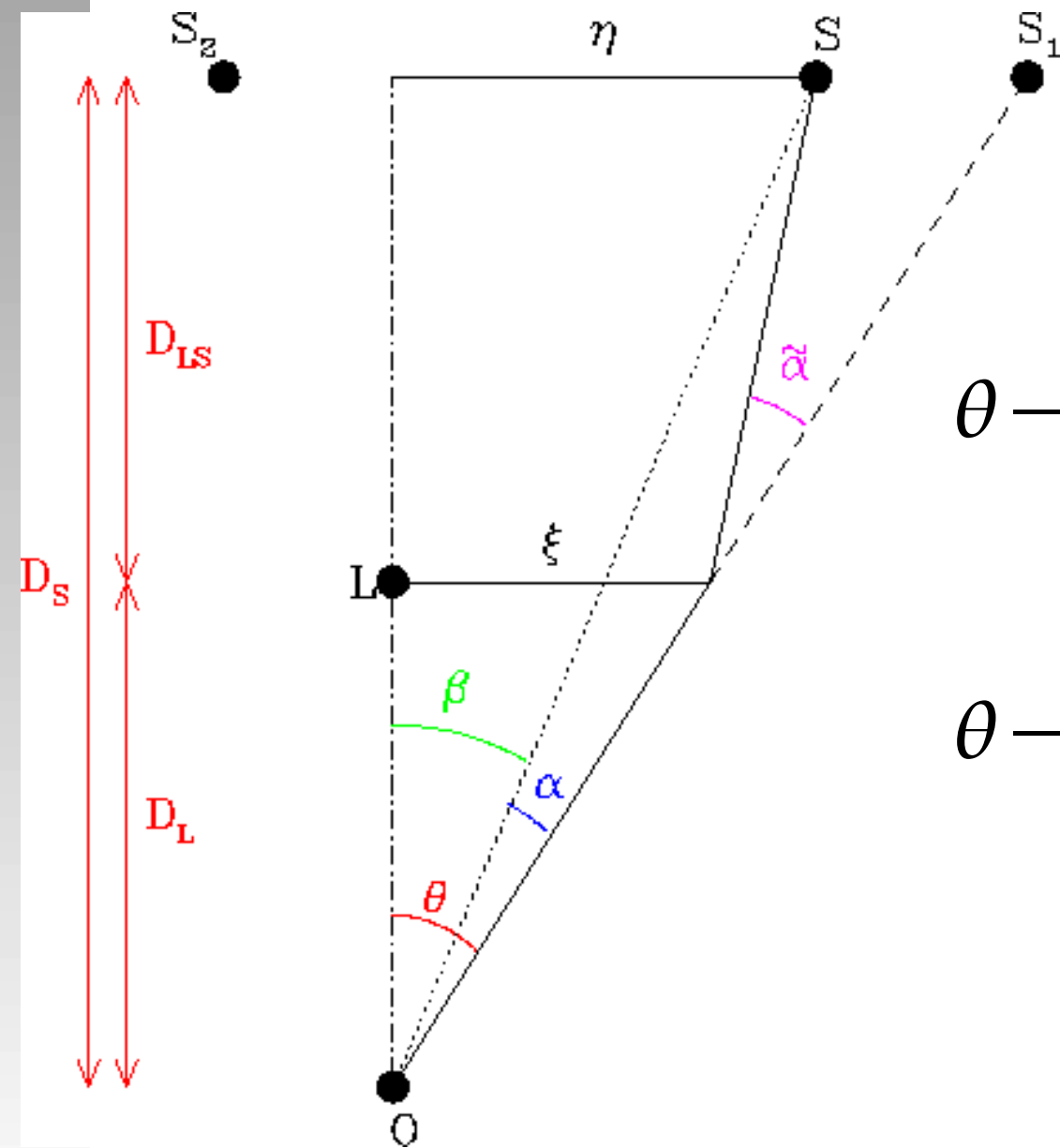
$$D_S \sin(\theta - \beta) = D_{LS} \sin(\tilde{\alpha}(\xi)) \quad (2)$$

$$\theta - \beta \approx D_{LS} \tilde{\alpha}(\xi) / D_S \quad (3)$$

$$\xi \approx \theta D_L \quad (4)$$

## ◆ Modelo

◆ (1) y (4) en (3):

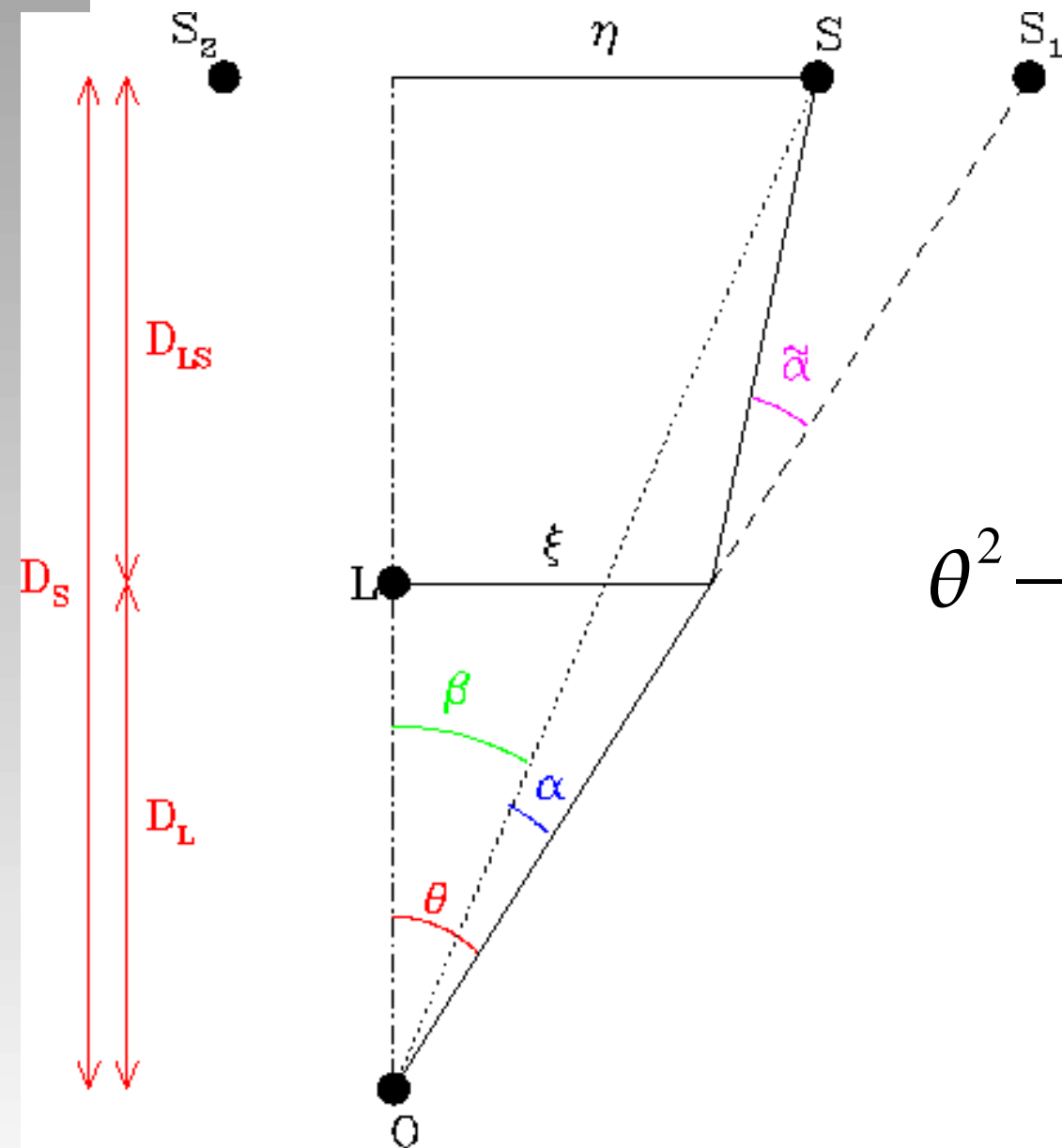


$$\theta - \beta \approx D_{LS} \tilde{\alpha}(\xi) / D_S \quad (3)$$

$$\theta - \beta \approx D_{LS} \frac{4 GM(\xi)}{c^2} \frac{1}{\theta D_L D_S}$$

## ◆ Modelo

## ◆ Ordenando (5):



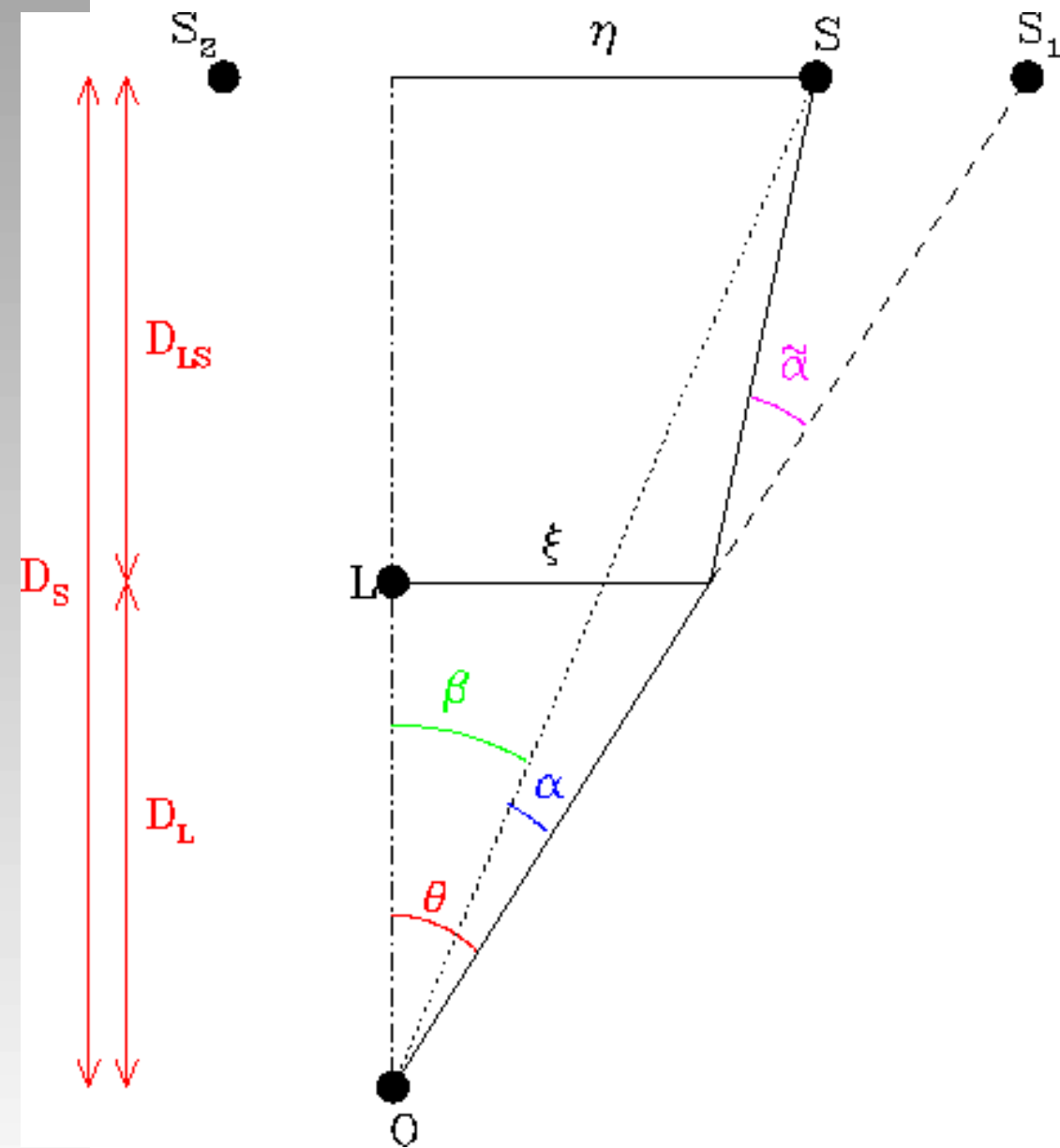
$$\theta^2 - \beta \theta = \frac{4GM(\xi)}{c^2} \frac{D_{LS}}{D_L D_S} \quad (6)$$

Ec. de lente delgado

## ◆ Modelo

## ◆ Otra forma de la ecuación de lente delgado:

$$\vec{\beta} = \vec{\theta} - \vec{\alpha}(\theta)$$

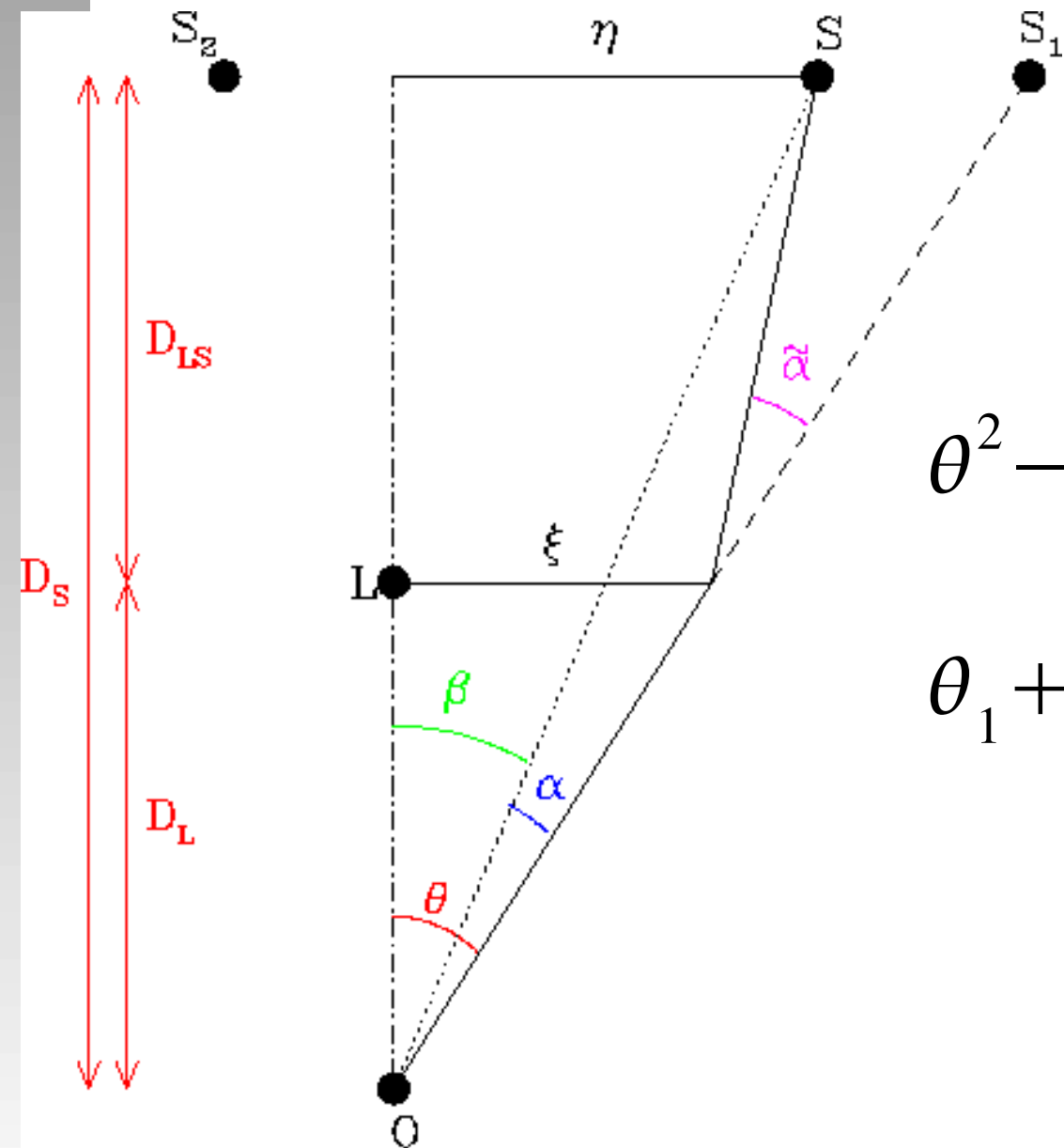


◆ Modelo

◆ Ec. (6) tiene 2 soluciones para theta que satisfacen:

$$\theta^2 - \beta \theta = \frac{4GM(\xi)}{c^2} \frac{D_{LS}}{D_L D_S} \quad (6)$$

$$\theta_1 + \theta_2 = \beta \quad (7)$$



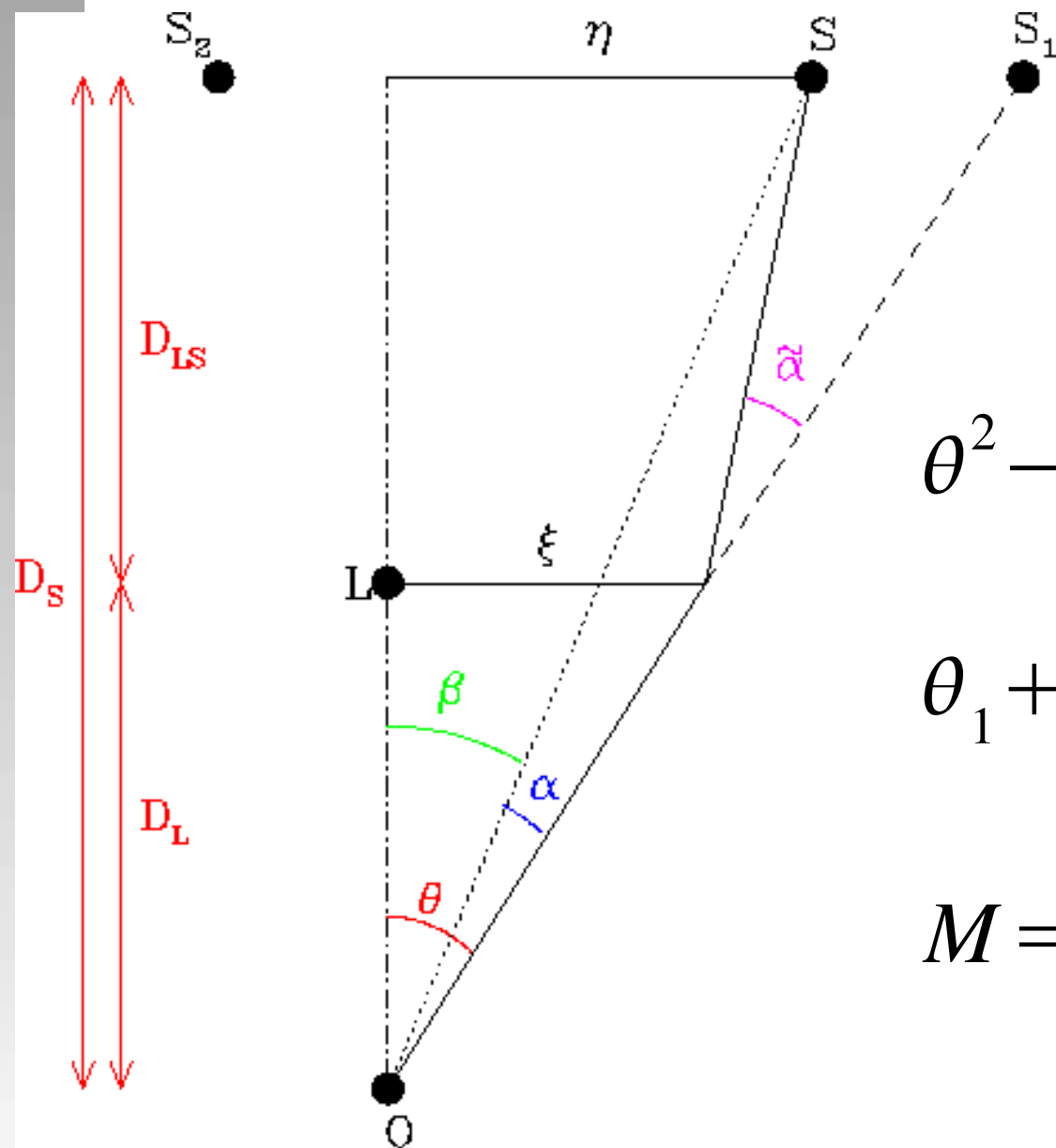
◆ Modelo

◆ Ec. (6) tiene 2 soluciones para theta que satisfacen:

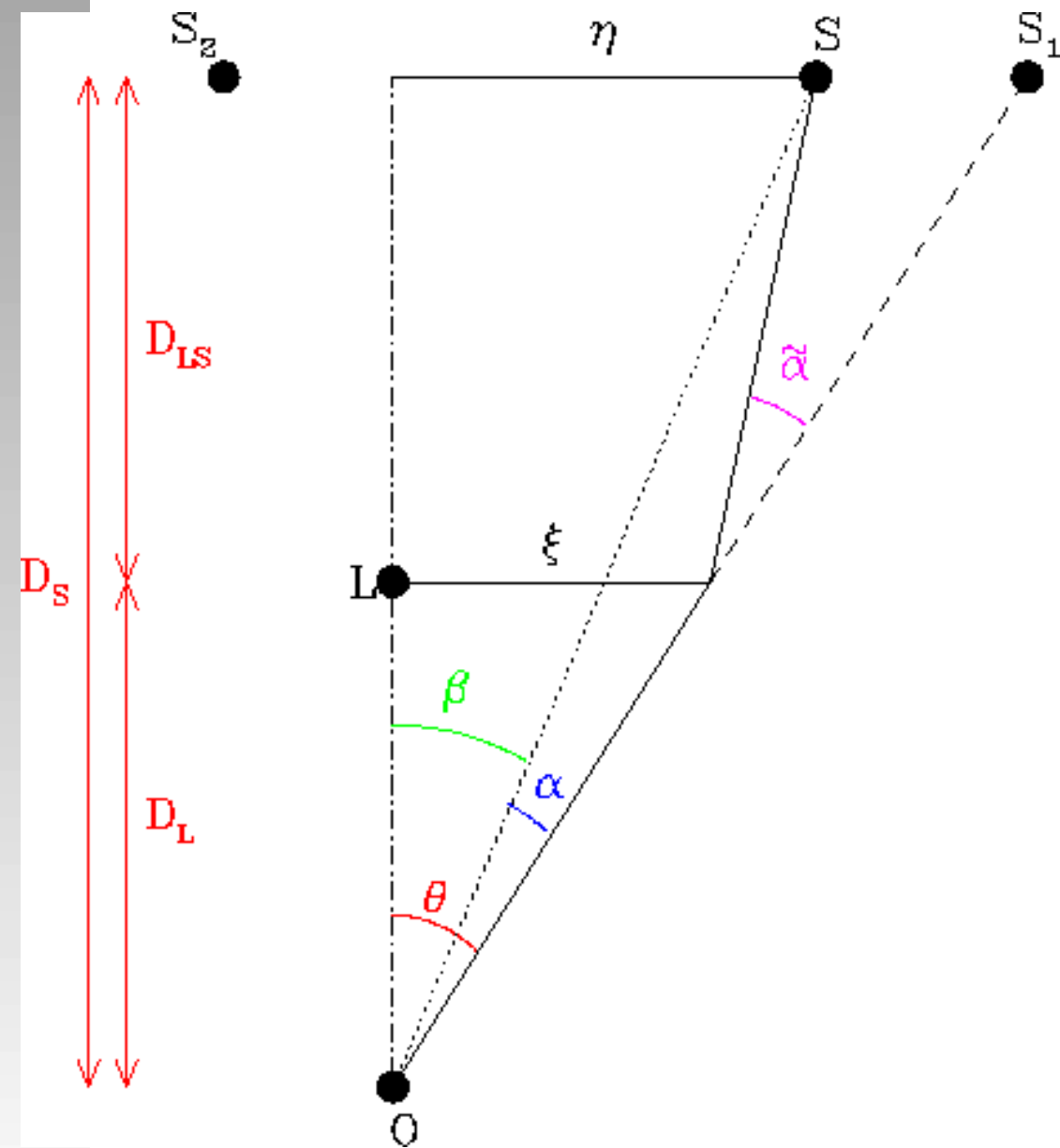
$$\theta^2 - \beta \theta = \frac{4GM(\xi)}{c^2} \frac{D_{LS}}{D_L D_S} \quad (6)$$

$$\theta_1 + \theta_2 = \beta \quad (7)$$

$$M = \frac{-\theta_1 \theta_2 c^2}{4G} \frac{D_L D_S}{D_{LS}} \quad (8)$$



## ◆ Modelo

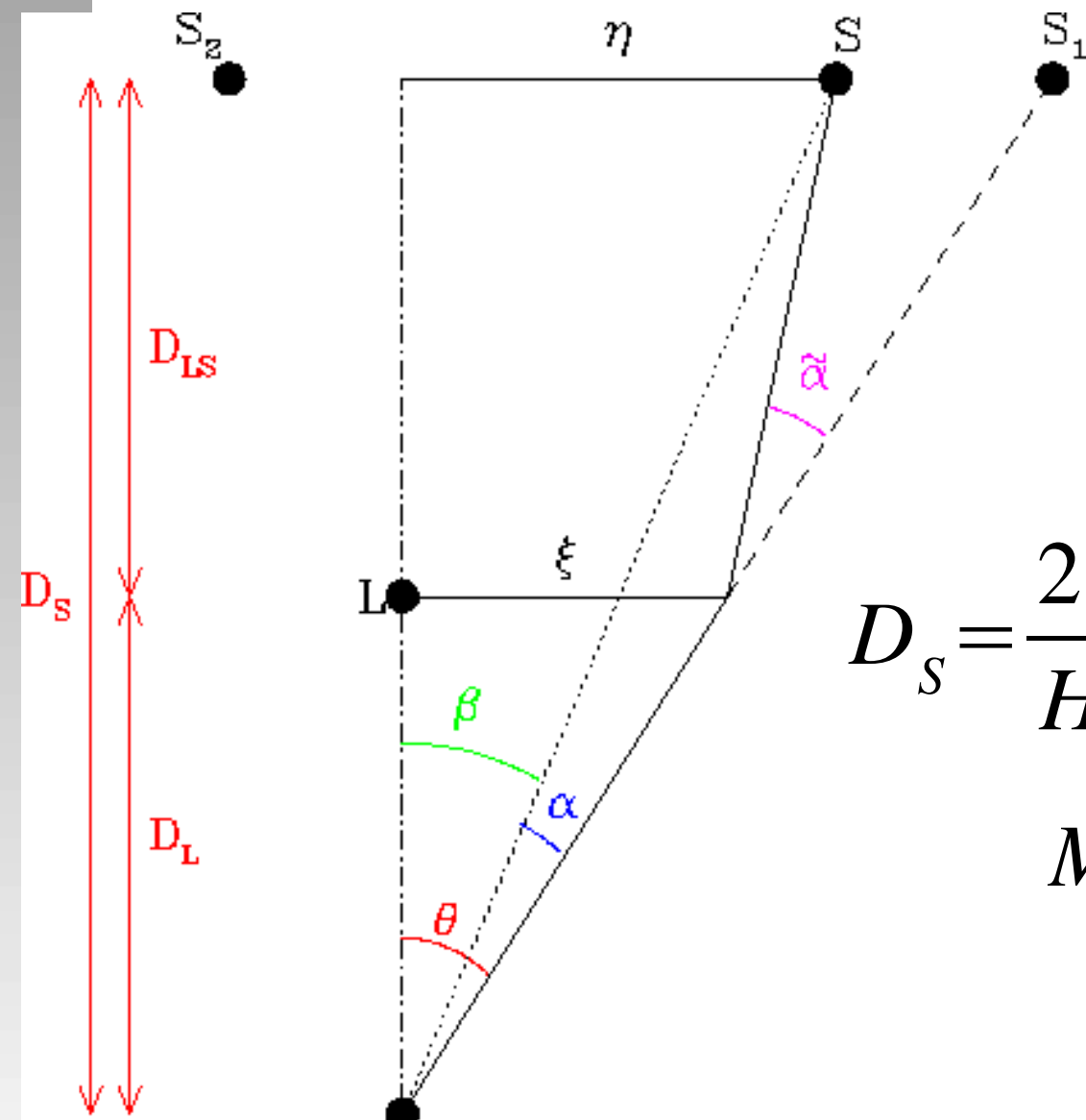


## ◆ Radio de Einstein:

- ◆ Si  $\beta=0$  (alineamiento con fuente), se forma un “anillo de Einstein” de radio

$$\theta_E = \sqrt{\frac{4GM}{c^2} \frac{D_{LS}}{D_L D_S}} \quad (9)$$

## ◆ Modelo



## ◆ Ejemplo:

- ◆  $z_S=3$  (QSO)
- ◆  $D_{LS} = D_L$

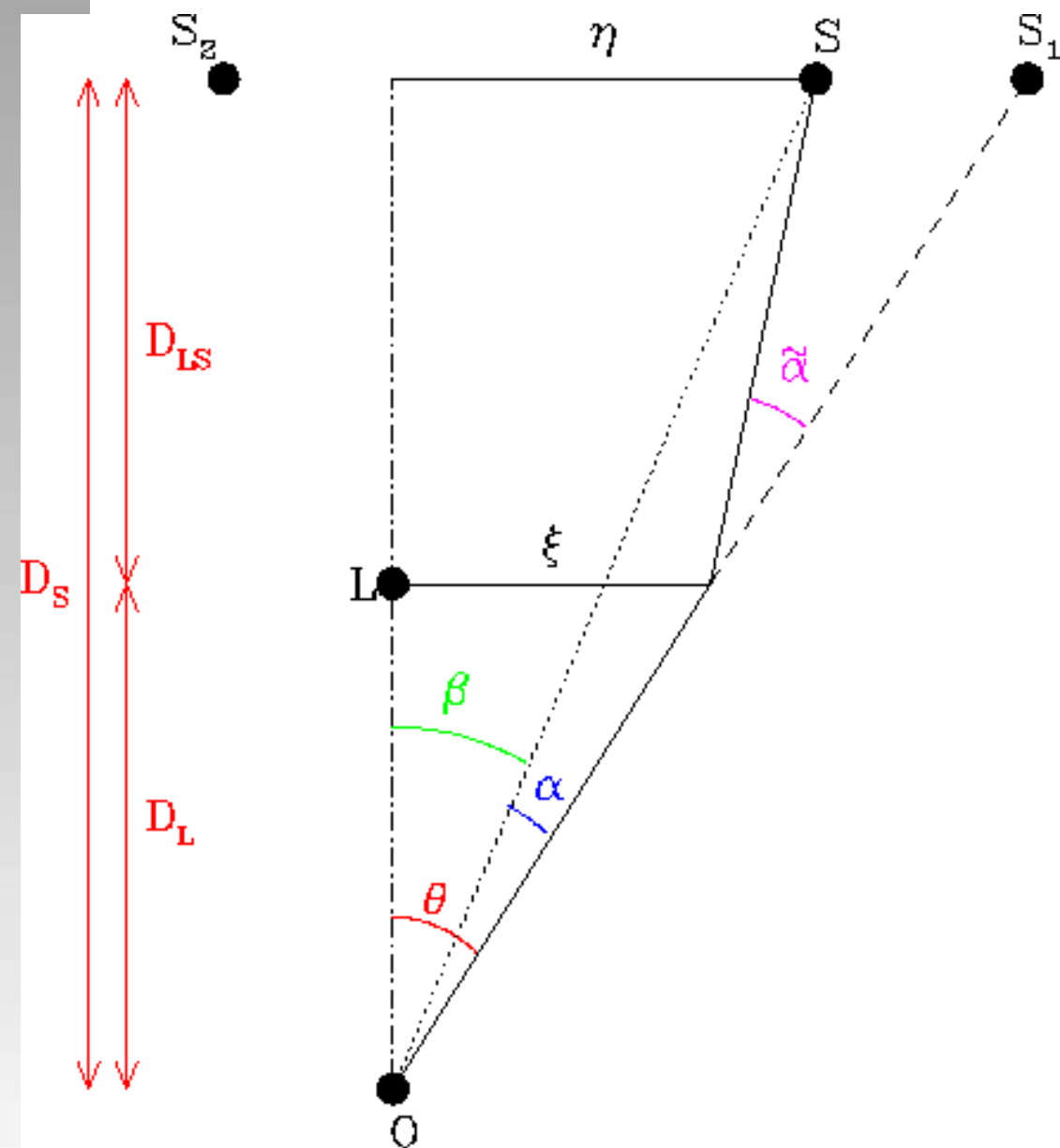
$$\left( \frac{D_{LS}}{D_L D_S} \right)^{-1} = D_S$$

$$D_S = \frac{2c}{H_0} \left( 1 - \frac{1}{\sqrt{1+z}} \right) = 3000 \text{ Mpc}$$

$$M = \theta_E^2 1.57 10^{22} M_{sun}$$

$$M = 1 10^{11} M_{sun} \Rightarrow \theta_E \approx 2.5 10^{-6} \text{ rad} = 0.5 \text{ arcsec}$$

## ◆ Modelo



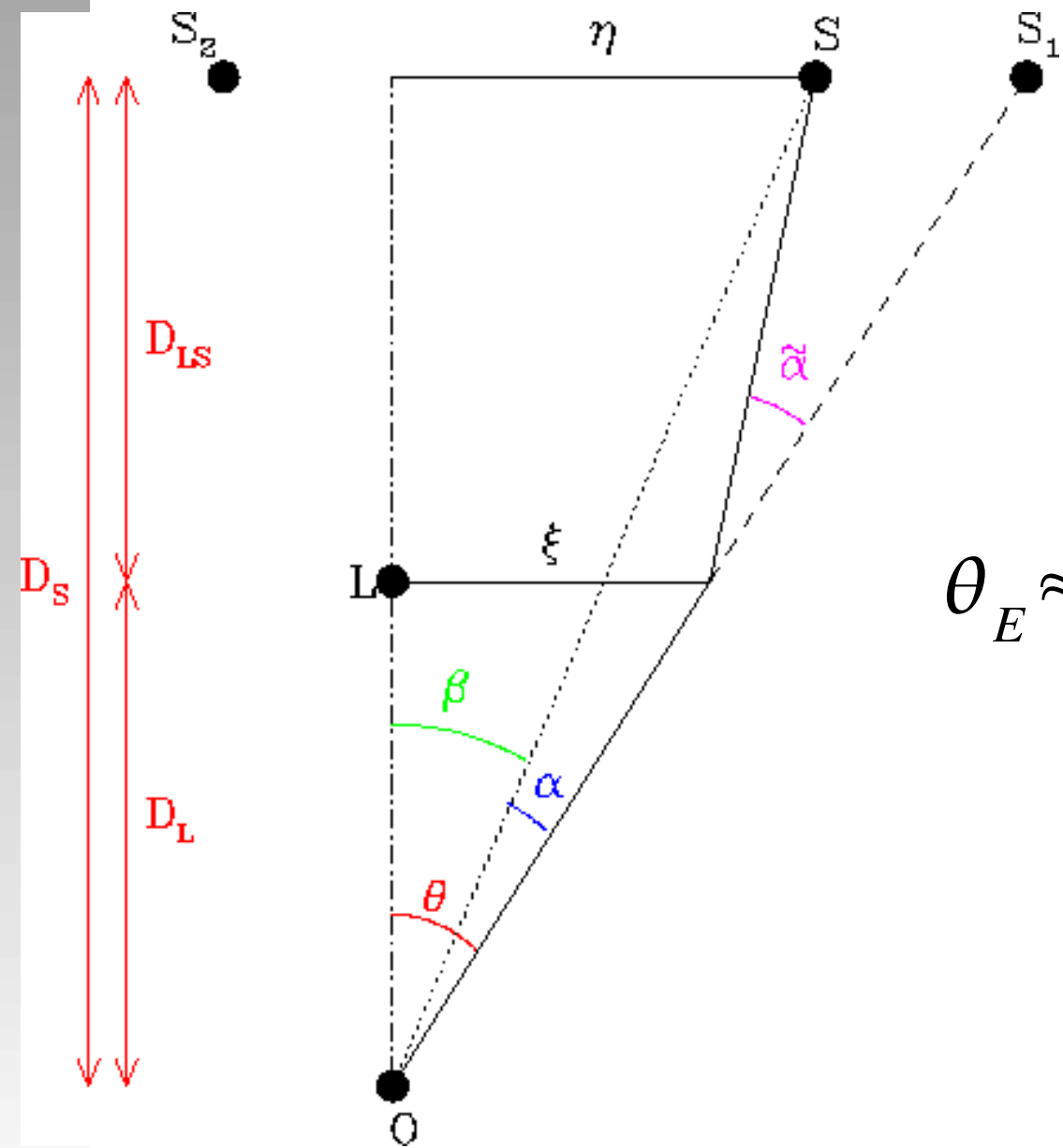
## ◆ Notar, en general:

- ◆  $D_{LS} \neq D_S - D_L$

$$\theta_E \approx 1.8 \sqrt{\frac{M}{10^{12} M_{sun}}} \text{ arcsec}$$

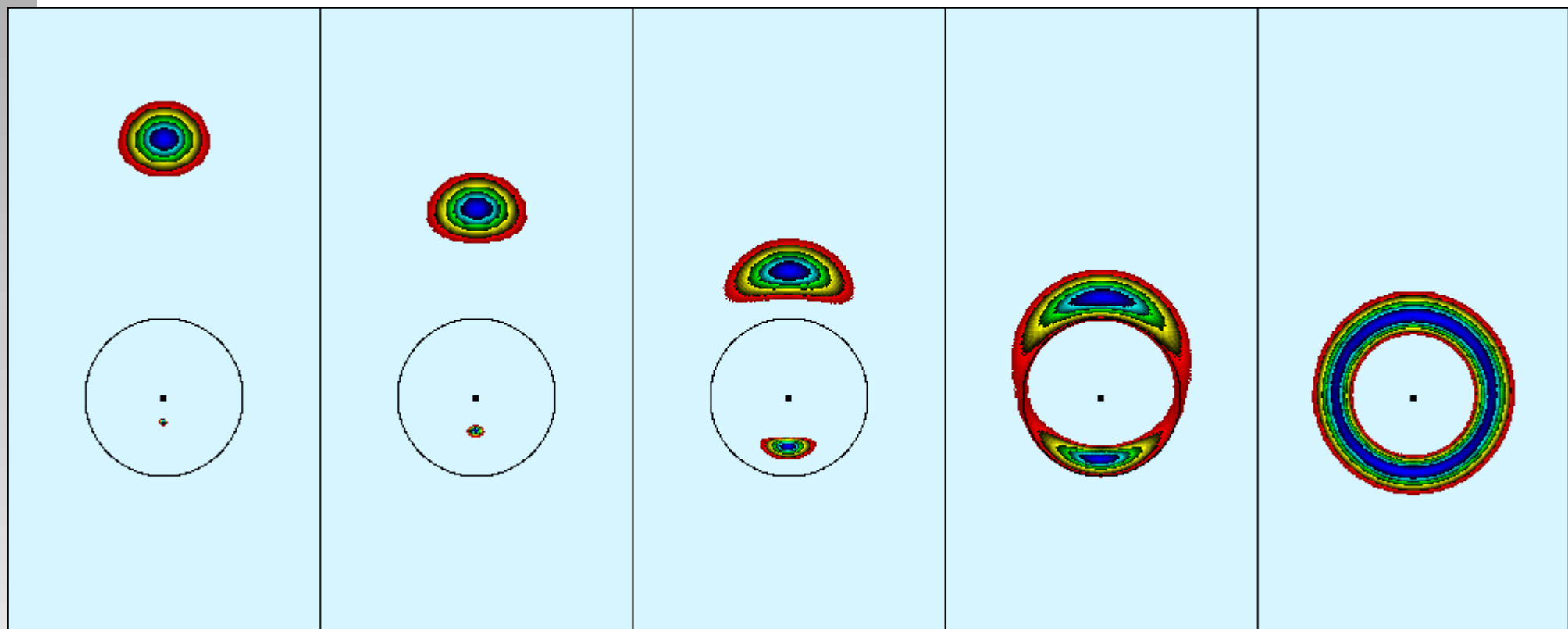
## ◆ Modelo

◆ Para estrellas en nuestra galaxia se tiene micro-lensing.

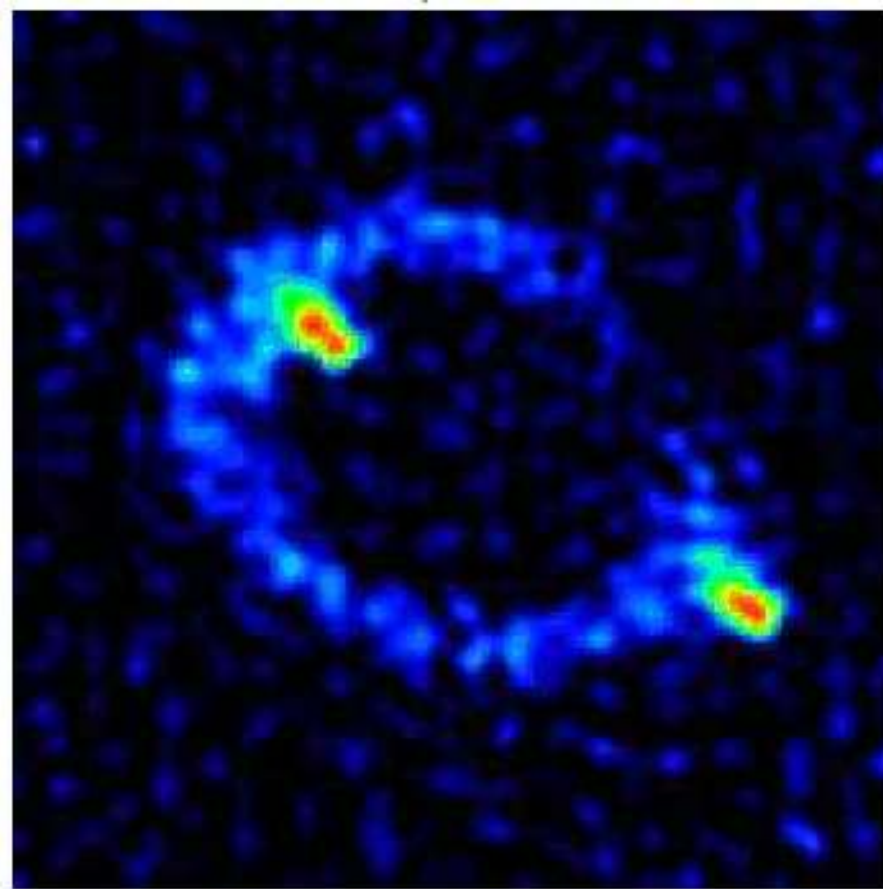


$$\theta_E \approx 0.5 \sqrt{\frac{M}{M_{sun}}} \text{ milli-arcsec}$$

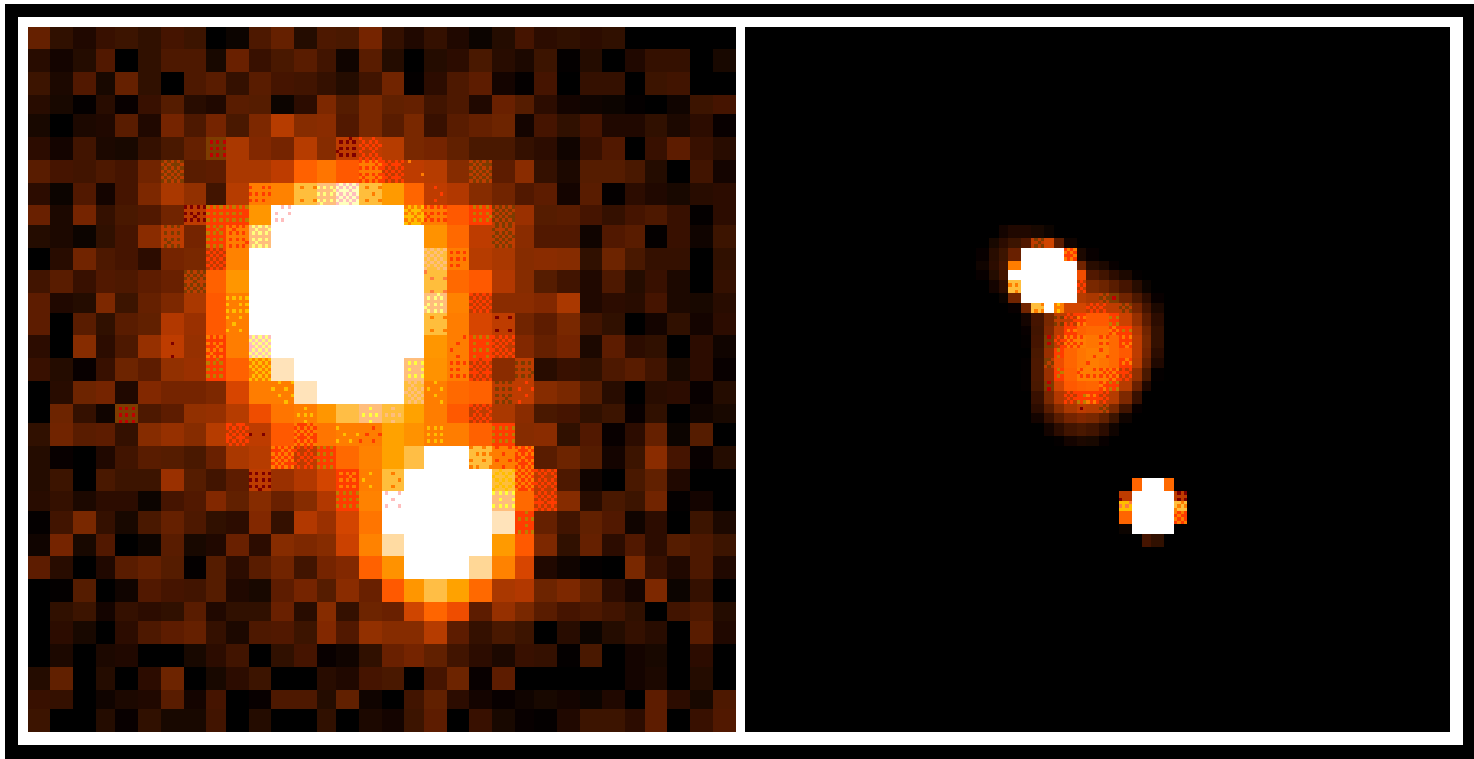
## ◆ Modelo



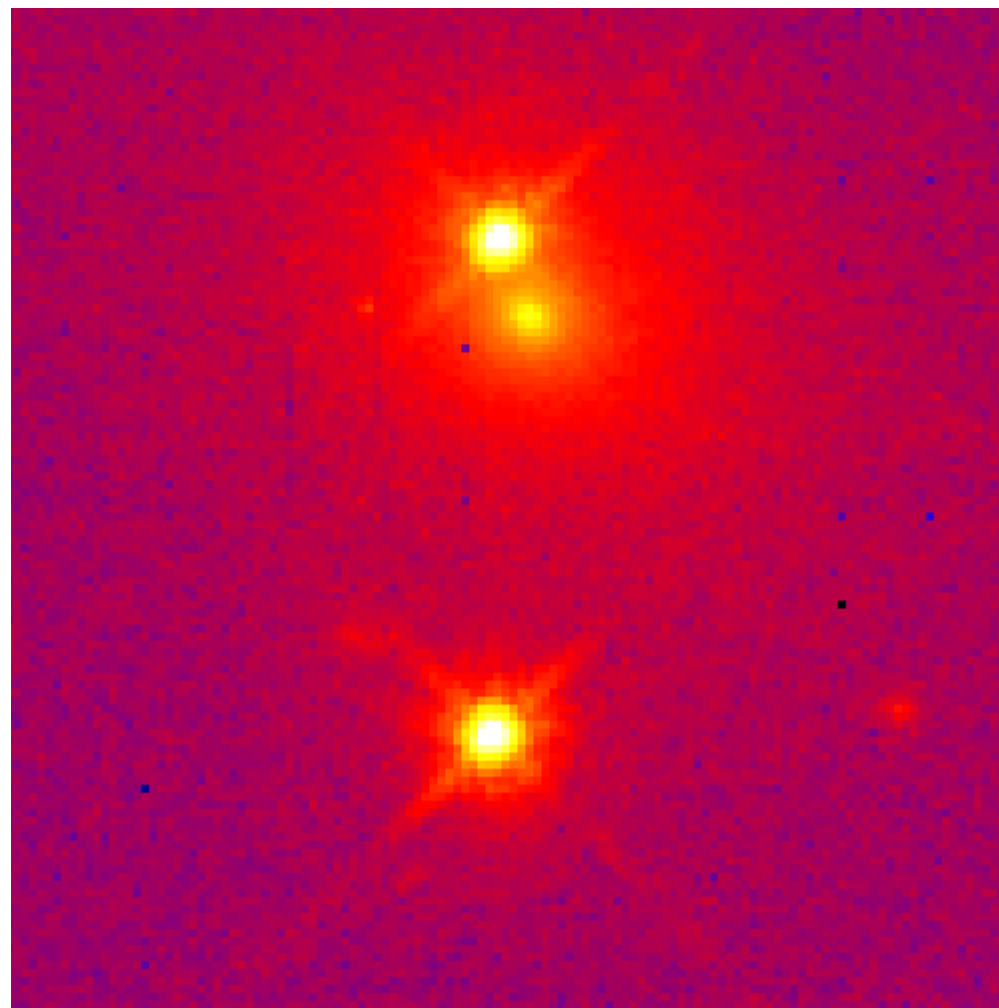
## ◆ Observaciones (radio) de MG1131+0456



◆ Observaciones (mid-IR, tierra) HE1104-1805



## ◆ Observaciones (mid-IR, HST) Q0957+561



- ◆ Modelo más sofisticado: se define una *densidad superficial de masa* en el plano del lente

$$\Sigma(\vec{\xi}) = \int_0^{D_s} \rho(\vec{r}) dz.$$

El ángulo de deflección alpha es ahora la suma sobre todos los elementos de masa

$$\vec{\alpha}(\vec{\xi}) = \frac{4G}{c^2} \int \frac{(\vec{\xi} - \vec{\xi}') \Sigma(\vec{\xi}')}{|\vec{\xi} - \vec{\xi}'|^2} d^2 \xi'.$$

- ◆ Modelo más sofisticado: para beta=0 la ecuación de lente queda

$$\hat{\alpha}(\theta) = \frac{\Sigma}{\Sigma_{\text{crit}}} \theta.$$

Donde la densidad superficial crítica se define como

$$\Sigma_{\text{crit}} = \frac{c^2}{4\pi G} \frac{D_s}{D_L D_{LS}},$$

- ◆ Modelo más sofisticado:
  - ◆ La densidad superficial de masa crítica no es más que la masa del lente “repartida” en el área del anillo de Einstein.
  - ◆ Para  $z_L=0.5$ ,  $z_S=2.0$ , se calcula:

$$\Sigma_{\text{crit}} \approx 0.8 \text{ g cm}^{-2}$$

Para una distribución de masa arbitraria, la condición  $\sigma > \sigma_{\text{crit}}$  es suficiente para obtener imágenes múltiples

- ◆ Magnificación ( $\mu$ )
  - ◆ Se define como la razón entre el ángulo sólido subtendido por la imagen y aquél de la fuente.

$$\mu = \frac{\theta}{\beta} \frac{d\theta}{d\beta}.$$

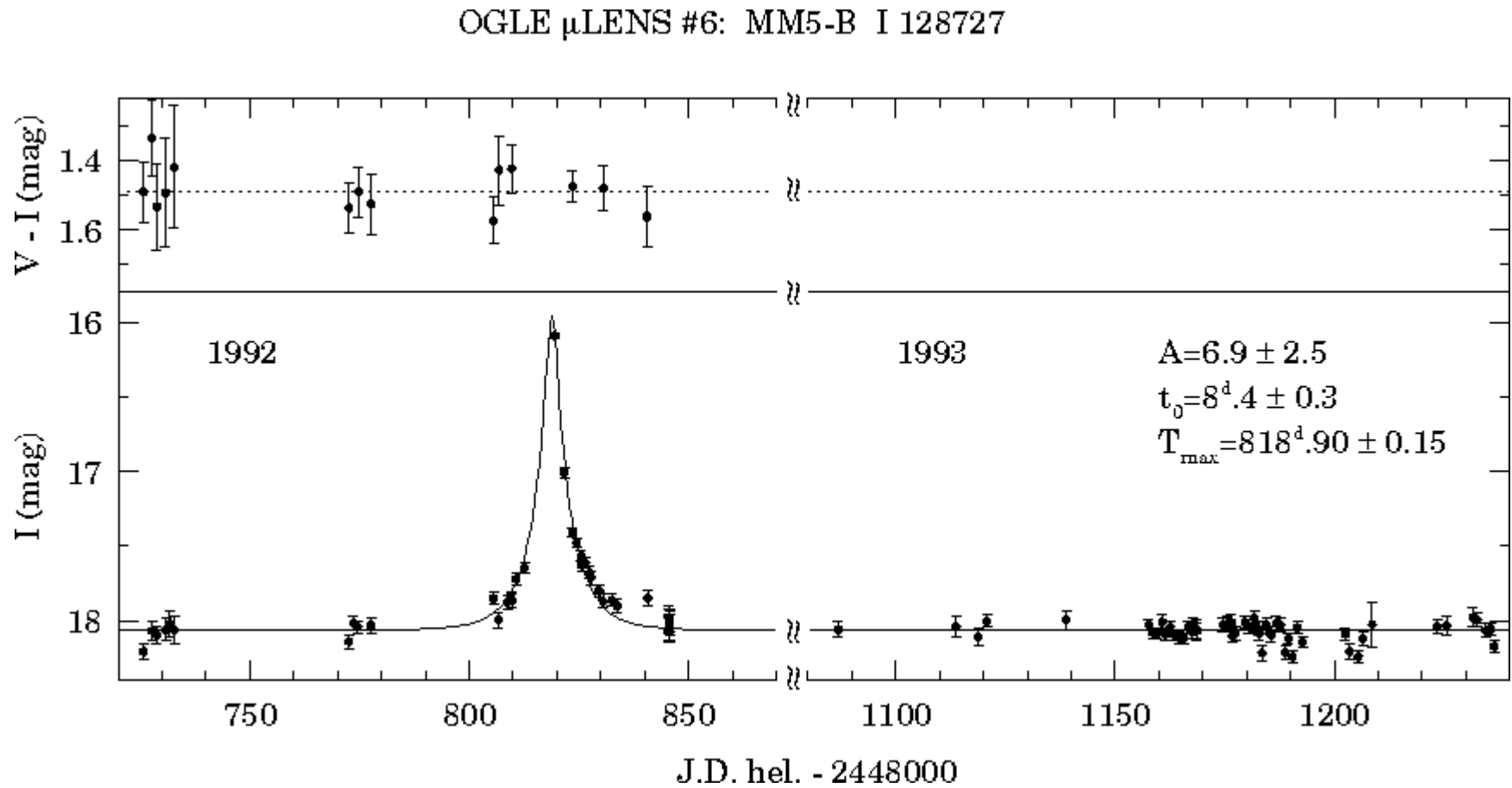
Para el caso simétrico, se tenía:

$$\theta_{1,2} = \frac{1}{2} \left( \beta \pm \sqrt{\beta^2 + 4\theta_E^2} \right).$$

Usando la ecuación de lente se obtiene:

$$\mu_{1,2} = \left( 1 - \left[ \frac{\theta_E}{\theta_{1,2}} \right]^4 \right)^{-1} = \frac{u^2 + 2}{2u\sqrt{u^2 + 4}} \pm \frac{1}{2}.$$

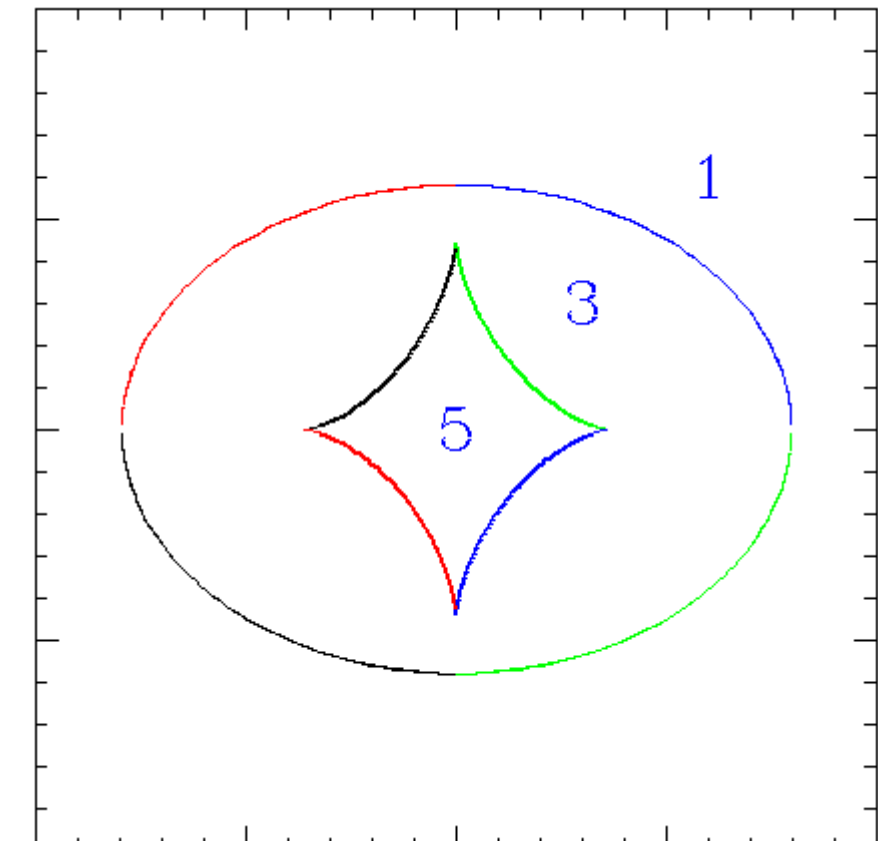
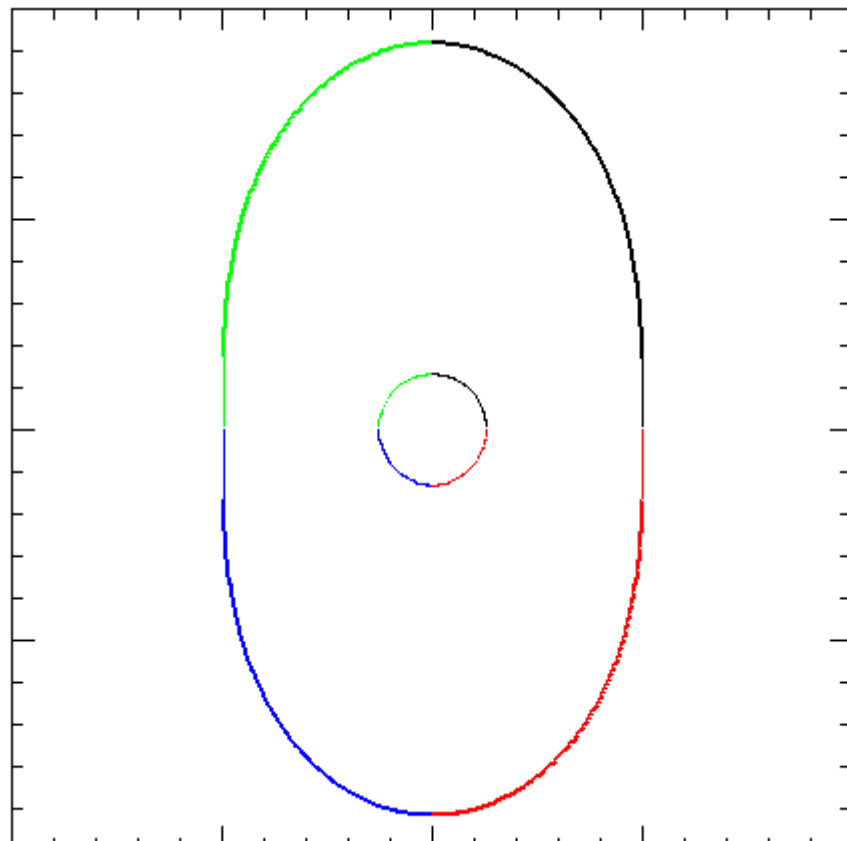
## ◆ Observaciones: microlensing



- ◆ Observaciones: microlensing
- ◆ Grupos:
  - ◆ \* MACHO (MAssive Compact Halo Object) .
  - ◆ \* EROS (Experience de Recherche d'Objets Sombres)
  - ◆ \* OGLE (Optical Gravitational Lens Experiment)
  - ◆ \* AGAPE (Andromeda Galaxy and Amplified Pixels Experiment)
  - ◆ \* MOA (MACHO Observations in Astrophysics)
  - ◆ \* PLANET (Probing Lensing Anomalies NETwork) .
  - ◆ \* DUO (Disk Unseen Objects)
  - ◆ \* GMAN (Global Microlensing Alert Network) .

## ◆ Mapeo del lente

- ◆ Usando la ecuación de lente se puede determinar la magnificación en cualquier punto.
- ◆ Hay curvas en el plano del lente que producen magnificación infinita (en el plano de la fuente se llaman “cáusticas”)



- ◆ Mapeo del lente
  - ◆ Usando la ecuación de lente se puede determinar la magnificación en cualquier punto.
  - ◆ Hay curvas en el plano del lente que producen magnificación infinita (en el plano de la fuente se llaman “cáusticas”)



## ◆ Time delay

Ver ángulo de deflección como el gradiente de un “potencial efectivo de lente”

$$\vec{\beta} = \vec{\theta} - \vec{\alpha}(\theta)$$

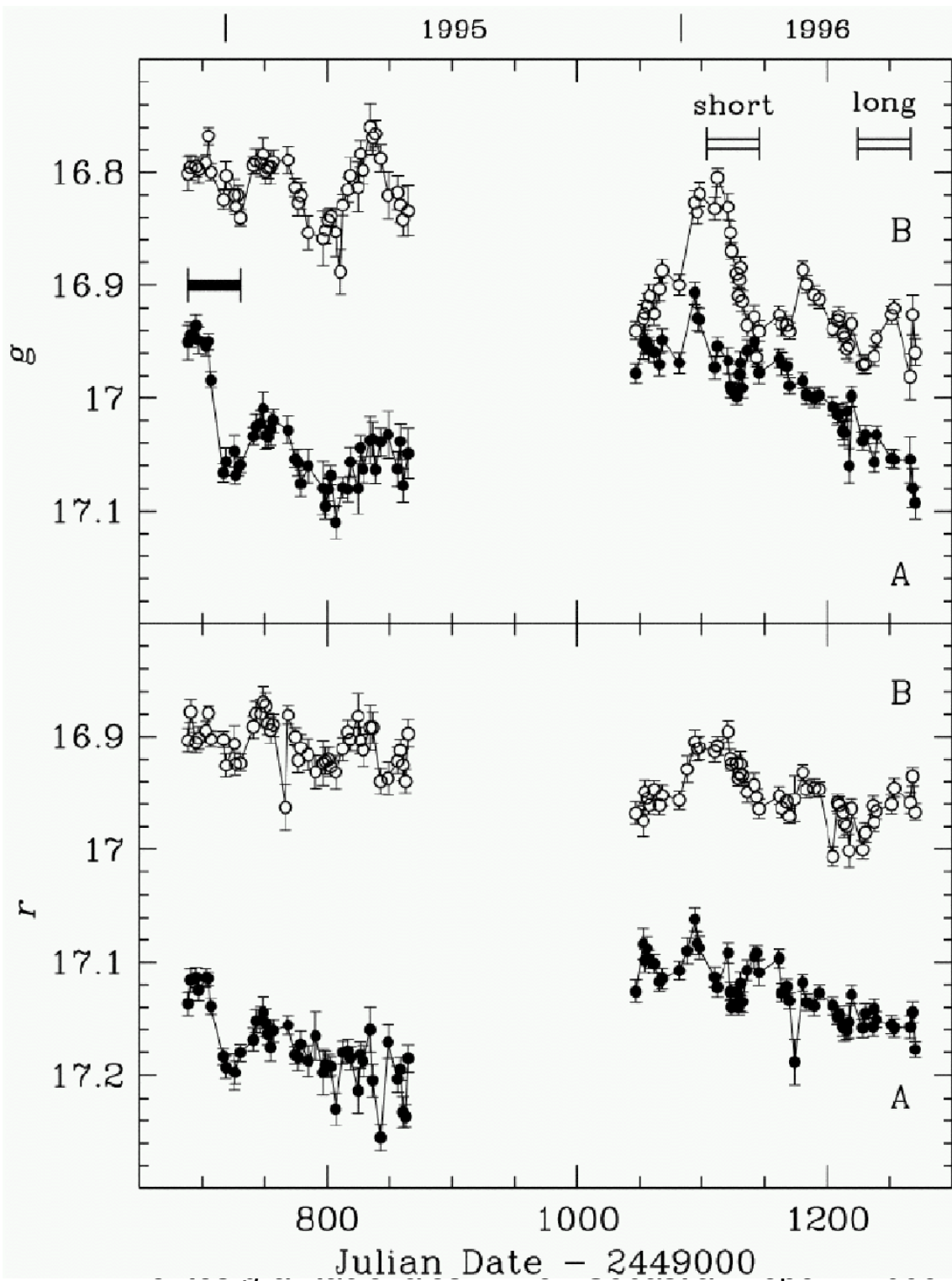
$$\vec{\nabla}_{\theta} \left( \frac{1}{2} (\vec{\theta} - \vec{\beta})^2 - \psi \right) = 0.$$

$$\tau(\vec{\theta}, \vec{\beta}) = \tau_{\text{geom}} + \tau_{\text{grav}} = \frac{1+z_L}{c} \frac{D_L D_s}{D_{Ls}} \left( \frac{1}{2} (\vec{\theta} - \vec{\beta})^2 - \psi(\theta) \right)$$

## ◆ Time delay

$$H_0 = 85^{+9}_{-6} \left( \frac{415 \text{ dias}}{\tau} \right) \left( \frac{\sigma}{322 \text{ km/s}} \right) [\text{km/s/Mpc}]$$

Q0957+561 A, B  
(primer “doble”)

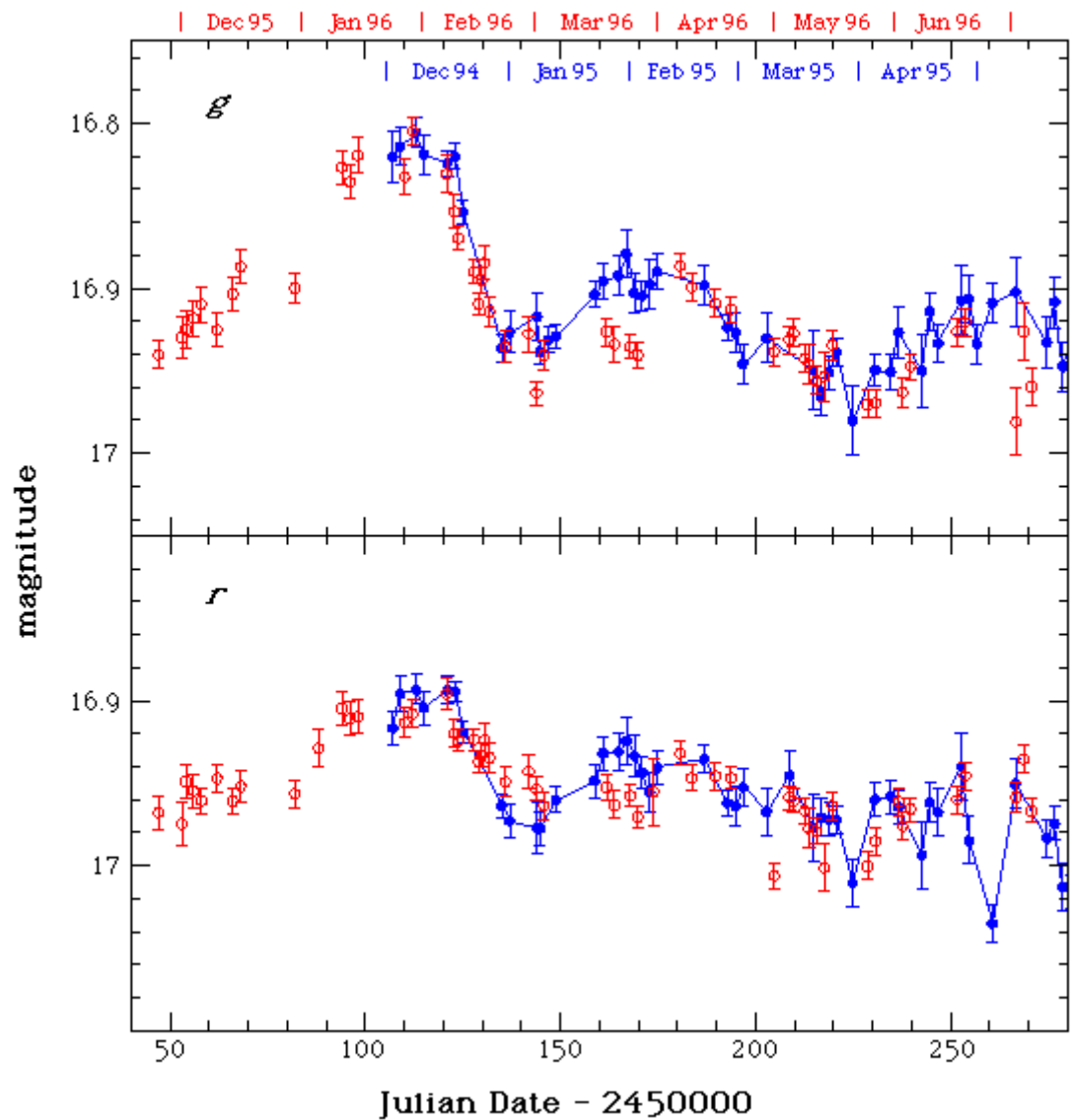


## ◆ Time delay

### Curvas de luz desplazadas 417 días

$$H_0 = (67 \pm 13) \text{ km sec}^{-1} \text{ Mpc}^{-1}$$

Q0957+561 A, B  
(primer “doble”)



# ◆ Time delay

*Letter to the Editor*

## First estimate of the time delay in HE 1104–1805\*

Lutz Wisotzki<sup>1</sup>, Olaf Wucknitz<sup>1</sup>, Sebastian Lopez<sup>1</sup>, and Anton Norup Sørensen<sup>2</sup>

<sup>1</sup> Hamburger Sternwarte, Universität Hamburg, Gojenbergsweg 112, D-21029 Hamburg, Germany

<sup>2</sup> Copenhagen University Observatory, Juliane Maries Vej 30, DK-2100 Copenhagen, Denmark

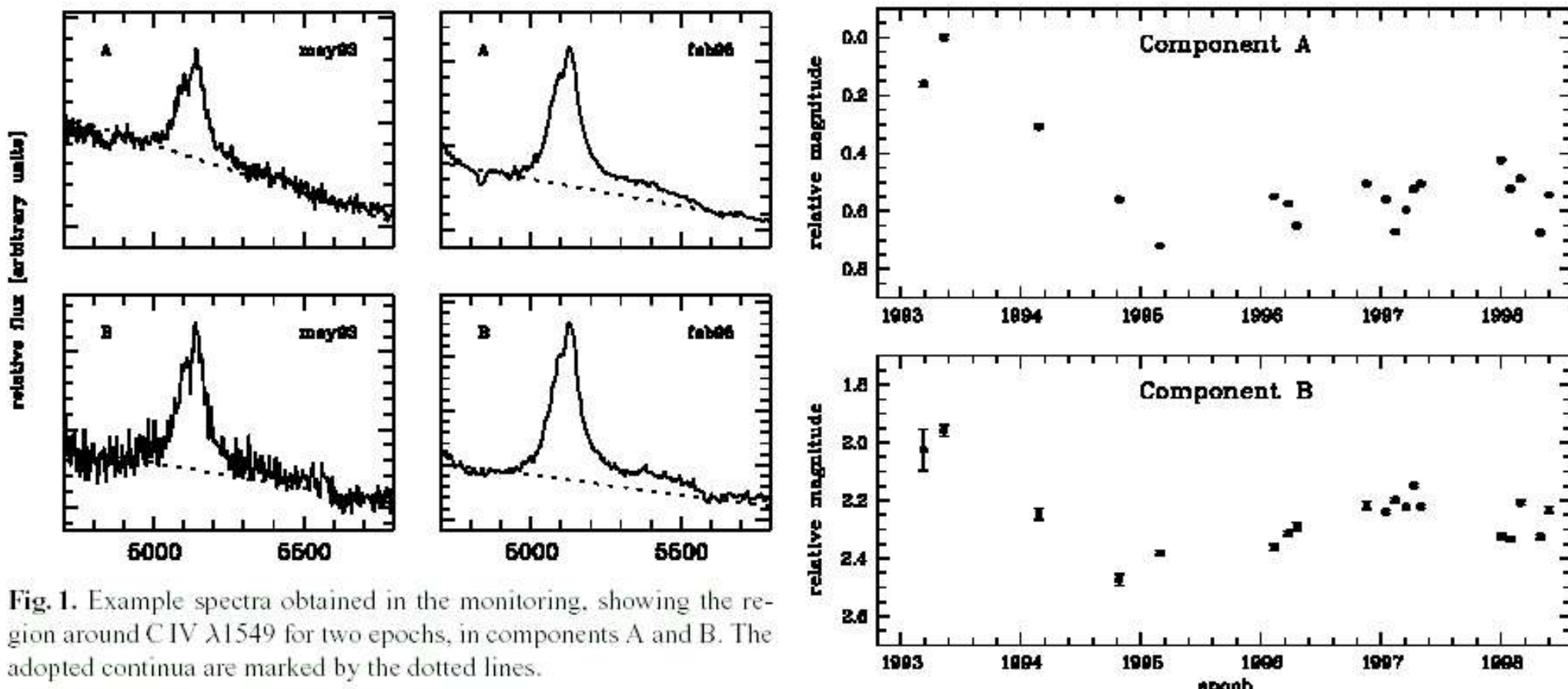
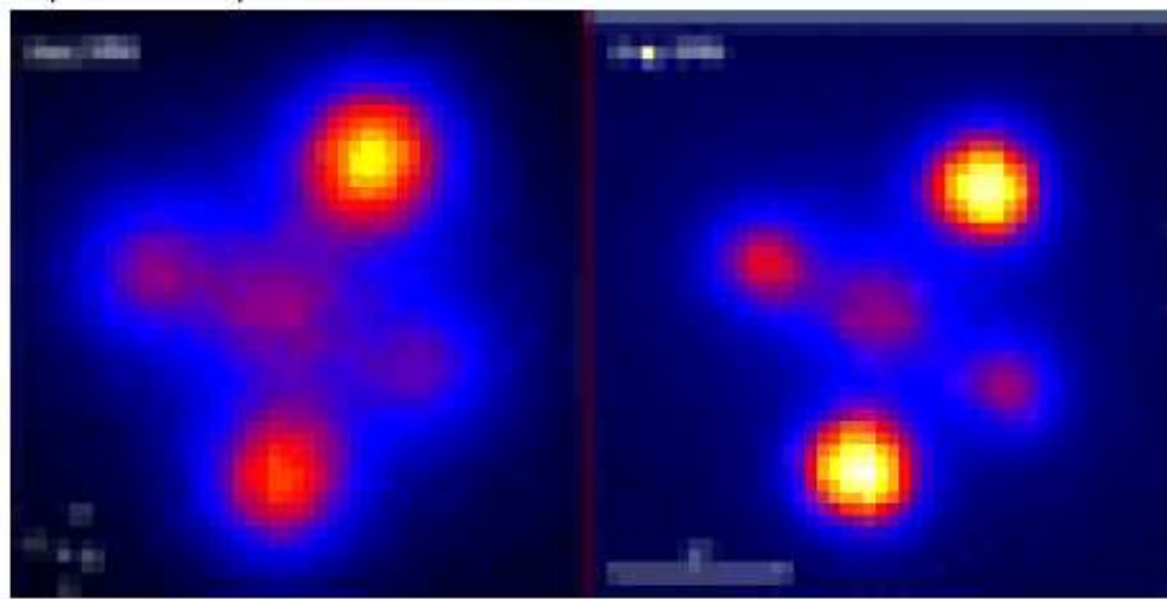


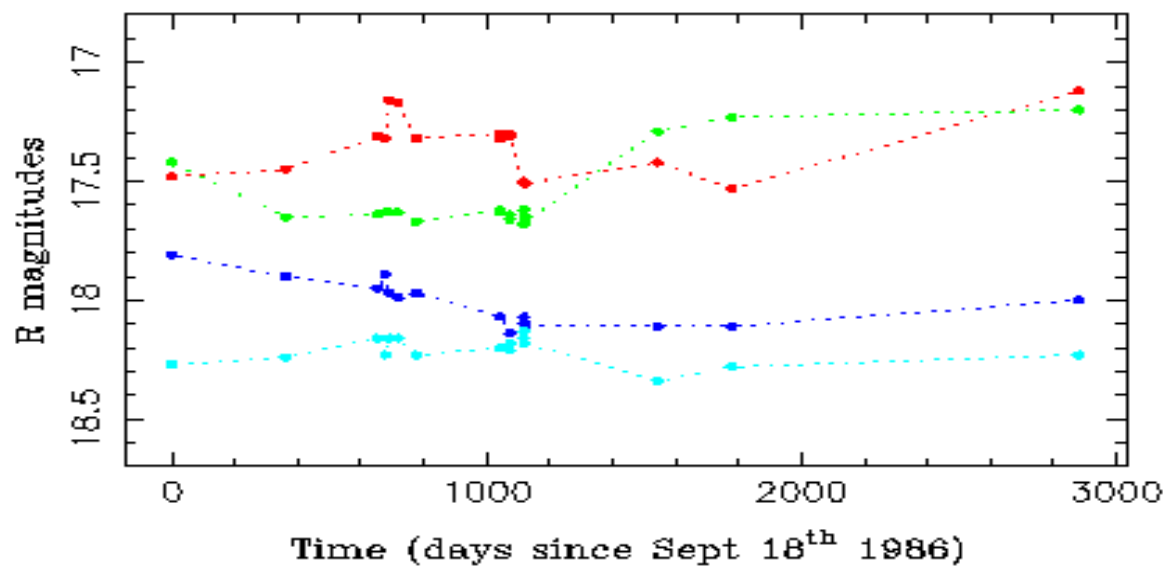
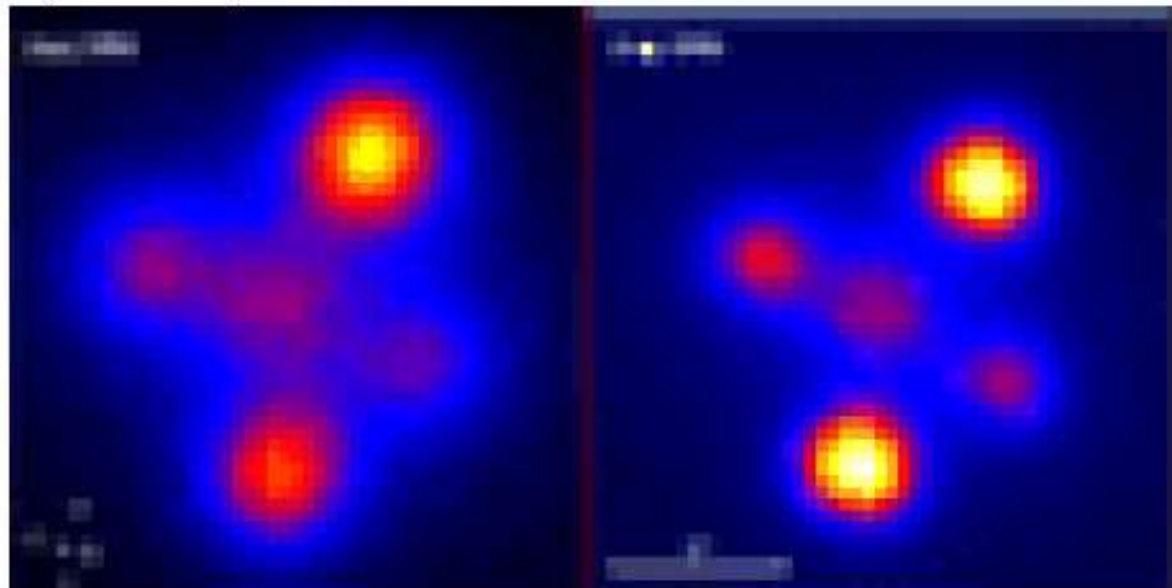
Fig. 1. Example spectra obtained in the monitoring, showing the region around CIV  $\lambda 1549$  for two epochs, in components A and B. The adopted continua are marked by the dotted lines.

## ◆ Time delay



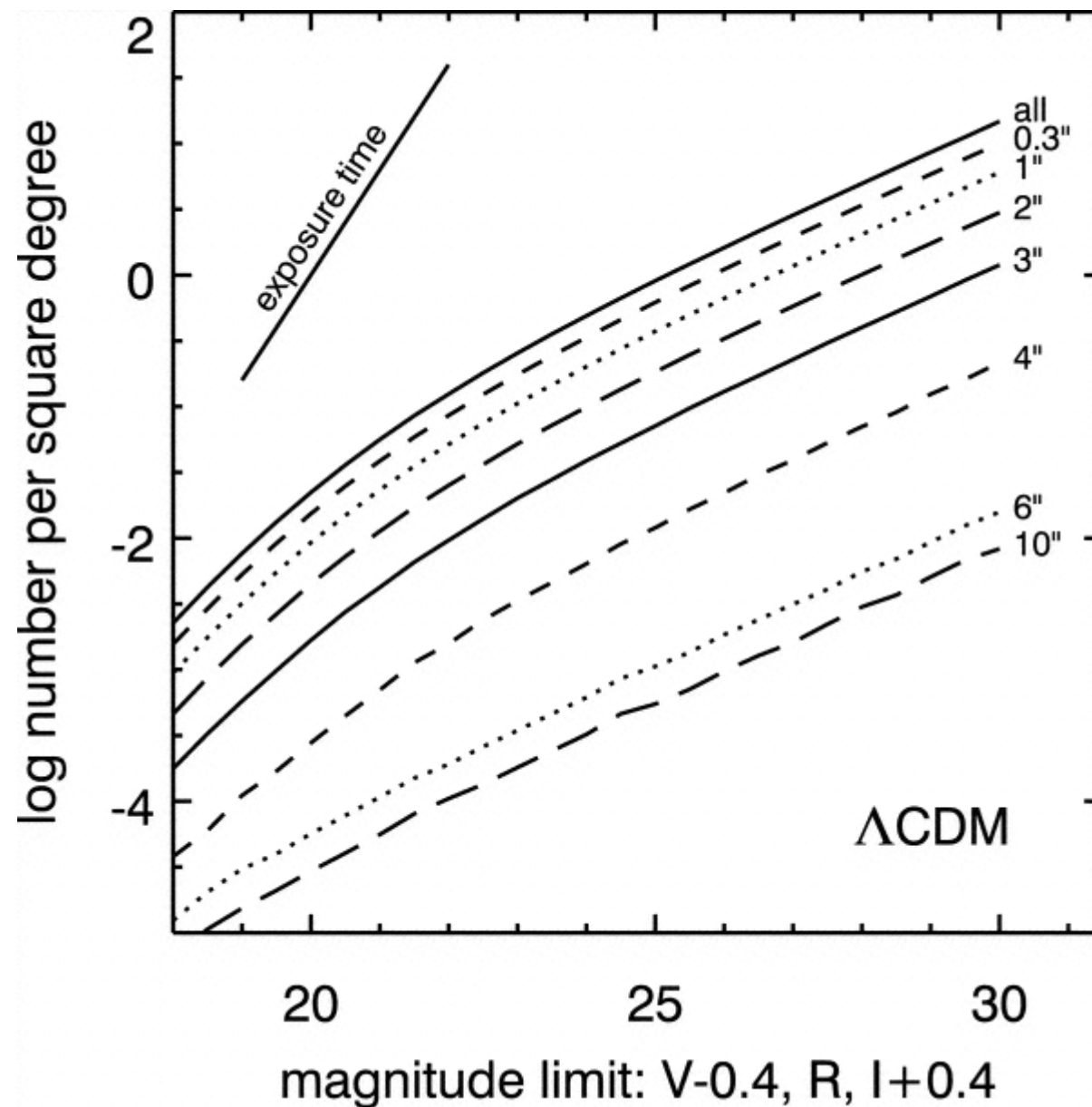
Q2237+0305

## ◆ Time delay

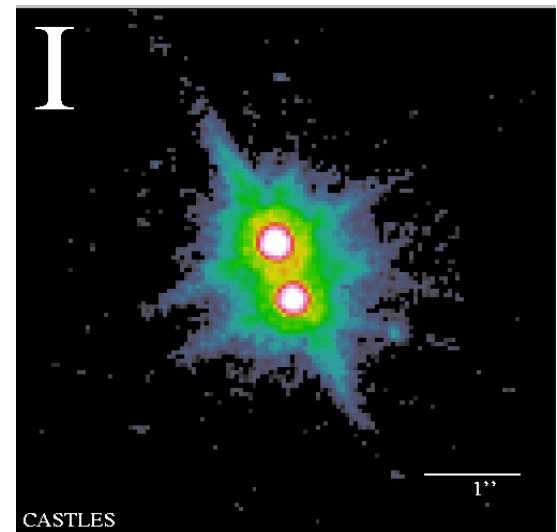
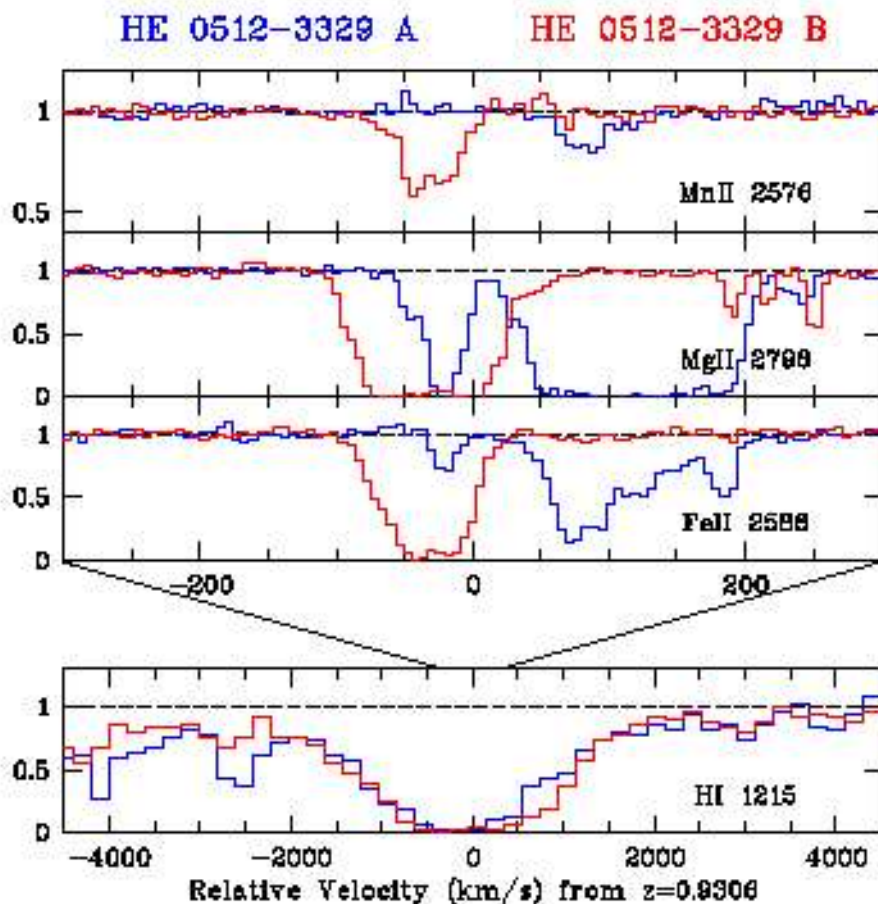


Q2237+0305

## ◆ Estadística de lentes



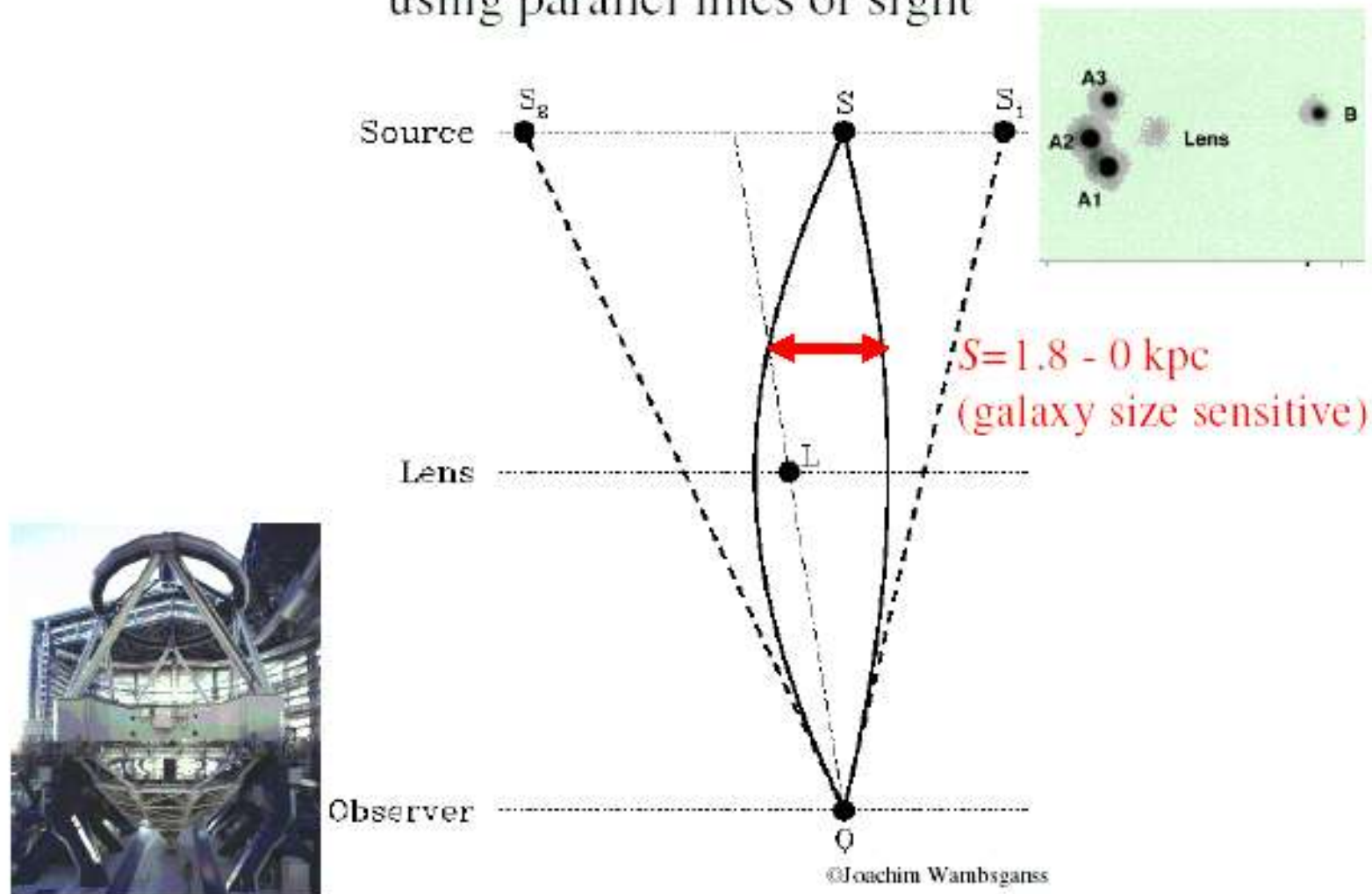
## ◆ Lentes como absorbentes



$\Omega_\Lambda$  !!

# ◆ Lentes como absorbentes

UVES Program to test metal enrichment of the forest  
using parallel lines of sight



# ◆ Castles

Gravitational Lens Data Base - Mozilla

File Edit View Go Bookmarks Tools Window Help

Home Bookmarks mozilla.org SuSE - The Lin...

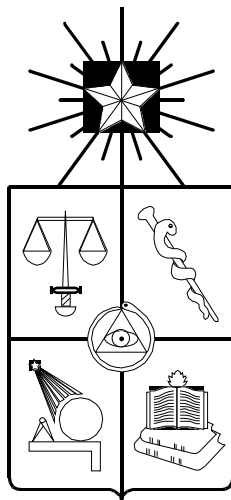
<http://cfa-www.harvard.edu/castles/>

| 4  |  | <a href="#">HST01248+0551</a> | C |       |       | 01:24:45.6   | +05:51:06    | 0.029 |           |         |              |           | 2   | 0.   |
|----|--|-------------------------------|---|-------|-------|--------------|--------------|-------|-----------|---------|--------------|-----------|-----|------|
| 5  |  | <a href="#">B0128+437</a>     | B | 3.124 |       | 01:31:13.405 | +43:58:13.14 | 0.082 |           |         |              | $F_5=48$  | 4   | 0.   |
| 6  |  | <a href="#">PMNJ0134-0931</a> | A | 2.216 | 0.77  | 01:34:35.67  | -09:31:02.9  | 0.031 |           |         |              | $F_5=529$ | 5R  | 0.   |
| 7  |  | <a href="#">Q0142-100</a>     | A | 2.72  | 0.49  | 01:45:16.5   | -09:45:17    | 0.031 | I=16.47/2 | I=18.72 | $F_5 \sim 1$ | 2         | 2.  |      |
| 8  |  | <a href="#">QJ0158-4325</a>   | A | 1.29  |       | 01:58:41.44  | -43:25:04.20 | 0.015 | I=17.39/2 | I=18.91 | $F_8 < 0.2$  | 2         | 1.  |      |
| 9  |  | <a href="#">B0218+357</a>     | A | 0.96  | 0.68  | 02:21:05.483 | +35:56:13.78 | 0.068 | I=18.55/4 | I=20.06 | $F_5=1209$   | 2ER       | 0.  |      |
| 10 |  | <a href="#">HE0230-2130</a>   | A | 2.162 | 0.52  | 02:32:33.1   | -21:17:26    | 0.022 | I=18.00/4 | I=20.39 |              | 4         | 2.  |      |
| 11 |  | <a href="#">SDSS0246-0825</a> | A | 1.68  |       | 02:46:34.11  | -08:25:36.2  |       |           |         |              |           | 2   | 1.   |
| 12 |  | <a href="#">CFRS03.1077</a>   | B | 2.941 | 0.938 | 03:02:30.9   | +00:06:02.1  | 0.098 |           |         | I=20.36      |           | 2ER | 2    |
| 13 |  | <a href="#">J0332-2756</a>    | A |       | 0.617 | 03:32:38.22  | -27:56:52.9  | 0.008 | V=-1.95/6 | V=20.74 |              |           | 2E  | 3.06 |

## ◆ Bibliografía

- <http://relativity.livingreviews.org/open?pubNo=>
- Schneider, P., Ehlers, J., and Falco, E.E.,  
Gravitational Lenses, (Springer, Berlin, 1992).

# *La razón D/H intergaláctica*



Sebastian Lopez  
Departamento de Astronomía  
Universidad de Chile



# ◆ Deuterio

- ◆ Deuterio en la galaxia
- ◆ Observaciones FUSE
- ◆ Prochaska et al. (2005) ApJ 620,39

- ◆ CTQ408
- ◆ examples

- ◆ CTC
- ◆ ex

